

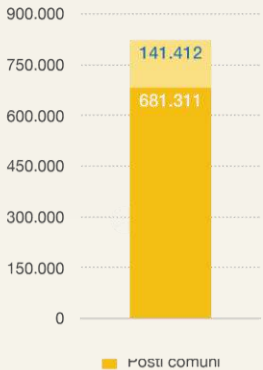
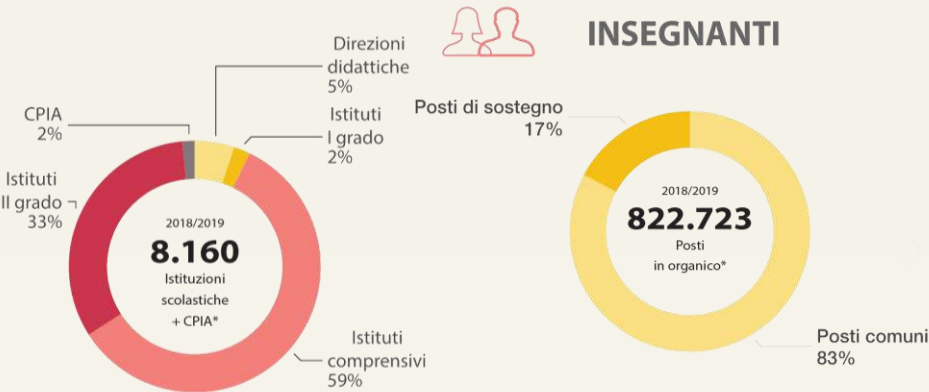
**metodi e strategie di
intervento e di recupero
di edifici scolastici**



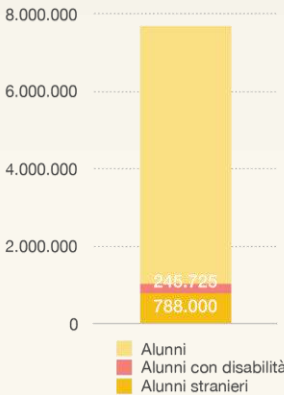
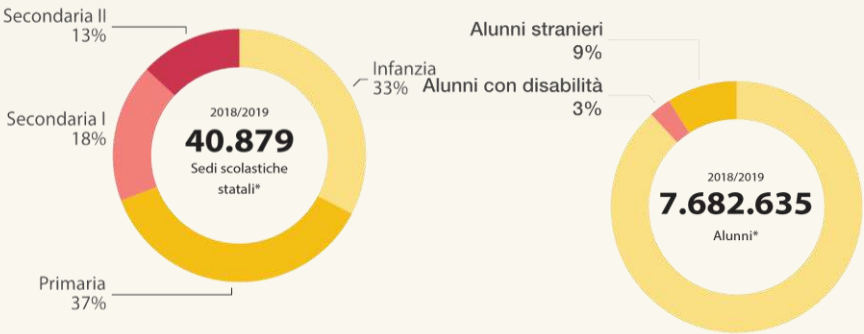
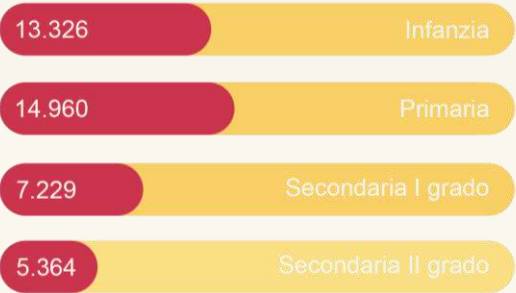
il sistema scolastico in Italia



ISTITUZIONI SCOLASTICHE



SEDI SCOLASTICHE STATALI



I grafici riportano i dati numerici della situazione scolastica in Italia.
In particolare si rivolge l'attenzione verso le sedi scolastiche della scuola primaria e della scuola d'infanzia.

il sistema scolastico in Italia



Tab. 4 - Alunni, classi, alunni con disabilità per regione_scuole statali A.S.2018/2019

Regione	Totale		
	Alunni	Classi	Alunni con disabilità
Piemonte	530.382	25.494	14.569
Lombardia	1.188.581	54.750	40.740
Veneto	594.915	28.165	16.962
Friuli Venezia Giulia	144.004	7.424	3.646
Liguria	171.791	8.102	6.031
Emilia Romagna	549.100	24.902	17.534
Toscana	481.118	22.351	14.652
Umbria	117.665	5.751	3.992
Marche	210.045	10.049	6.906
Lazio	732.994	34.517	24.432
Abruzzo	173.061	8.605	6.685
Molise	38.079	2.052	1.078
Campania	879.561	44.301	27.581
Puglia	584.982	27.725	17.866
Basilicata	78.054	4.168	1.861
Calabria	275.748	14.797	7.778
Sicilia	729.810	36.219	26.299
Sardegna	202.745	11.239	7.111
Italia	7.682.635	370.611	245.723

Tab. 10 - Posti comuni e di sostegno per regione_Scuola statale _ A.S. 2018/2019

Regione	Posti comuni	Posti di sostegno	Totale posti
Piemonte	47.845	11.179	59.024
Lombardia	102.167	17.614	119.781
Veneto	52.056	8.815	60.871
Friuli Venezia Giulia	14.001	1.610	15.611
Liguria	15.373	2.664	18.037
Emilia Romagna	46.774	8.969	55.743
Toscana	42.369	9.437	51.806
Umbria	10.831	2.470	13.301
Marche	18.553	4.173	22.726
Lazio	62.717	15.150	77.867
Abruzzo	15.821	4.471	20.292
Molise	4.027	765	4.792
Campania	78.467	15.117	93.584
Puglia	49.578	10.455	60.033
Basilicata	8.375	1.346	9.721
Calabria	27.847	4.443	32.290
Sicilia	64.034	17.335	81.369
Sardegna	20.476	5.399	25.875
Italia	681.311	141.412	822.723

Le tabelle riportano l'entità delle persone coinvolte nel sistema scolastico e si prendono in esame le regioni del centro Italia.

la situazione nel centro Italia | post 2016



Scuola D. Alighieri | Macerata (MC)



Scuola B. Tucci | Acquasanta T. (AP)



Scuola U. Betti | Camerino (MC)



Scuola A. De Gasperi | Norcia (PG)

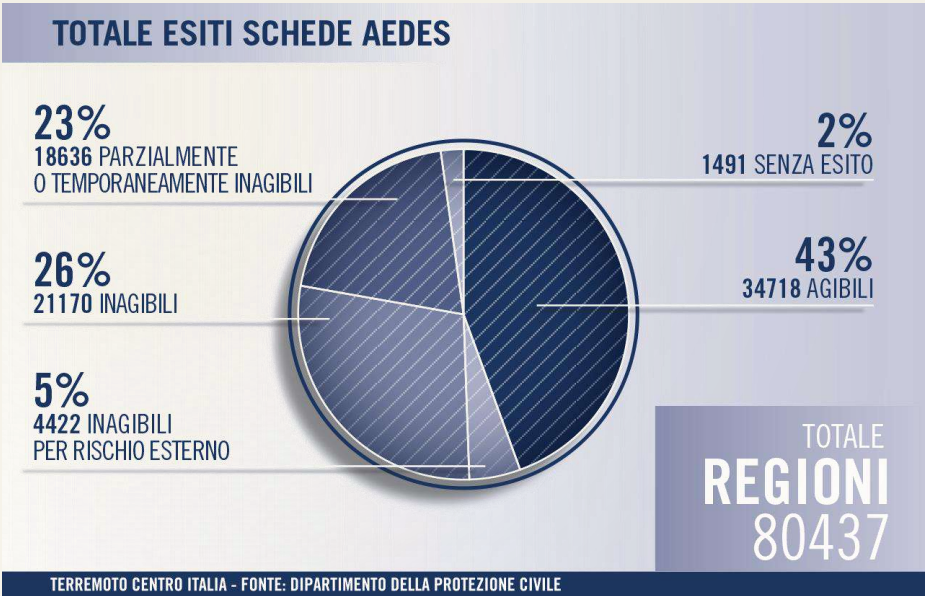
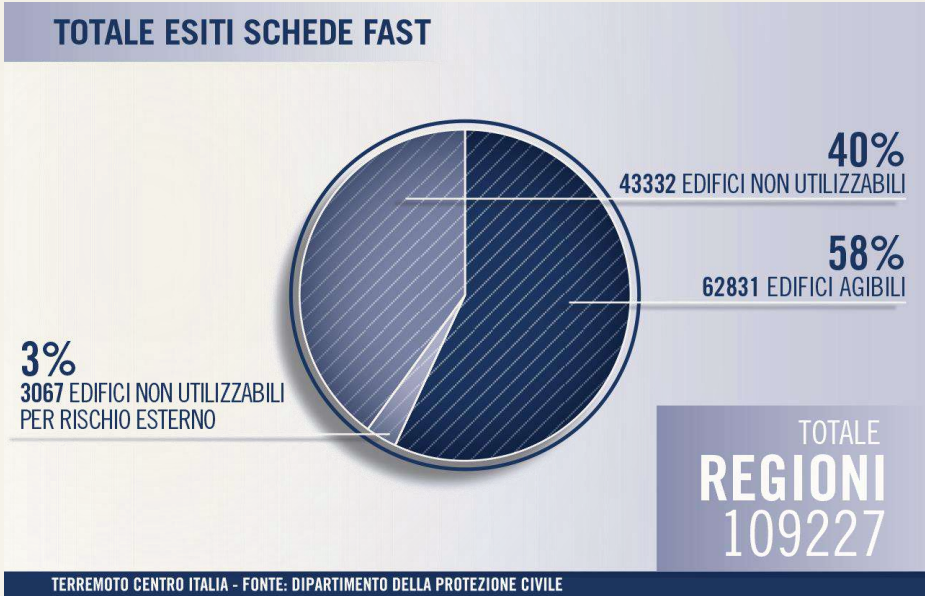


Scuola R. Capranica | Amatrice (RI)

In Italia, dopo il sisma del 2016, molti edifici, tra cui plessi scolastici, hanno subito danni strutturali. Quindi si è presentata la necessità di classificare l'entità del danno per procedere all'intervento più consono.

Quali sono i metodi di intervento da attuare in concomitanza di eventi sismici?

statistiche esiti FAST e AeDES | PC dati aggiornati 03.04.18



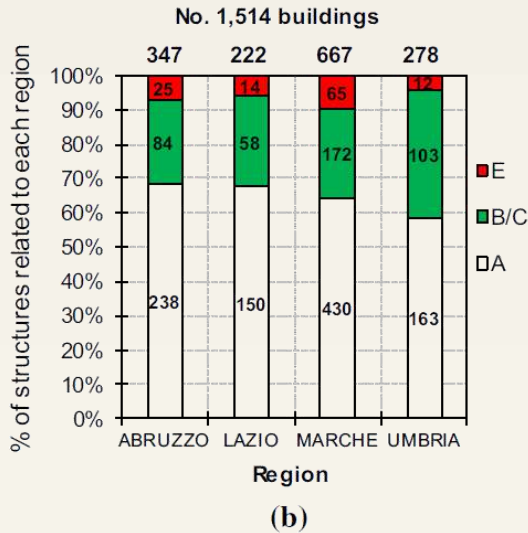
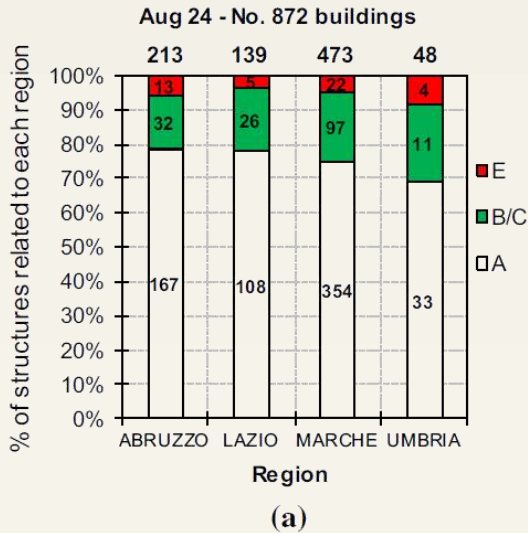
	AGIBILE		NON UTILIZZABILE		NON UTILIZZABILE PER SOLO RISCHIO ESTERNO		TOTALE CON ESITO	Esito NON attribuito		TOT. EDIFICI
	N.	%	N.	%	N.	%	N.	N.	%	N.
ABRUZZO	14.029	62,4%	7.662	34,1%	775	3,4%	22.466	6.367	22%	28.833
LAZIO	3.939	71,3%	1.430	25,9%	157	2,8%	5.526	2.057	27%	7.583
MARCHE	31.469	50,9%	28.767	46,5%	1.577	2,6%	61.813	13.747	18%	75.560
UMBRIA	13.394	69,0%	5.473	28,0%	558	3,0%	19.422	7.223	27%	26.648
TOTALE	62.831	58%	43.332	40%	3.067	3%	109.227	29.394	21%	138.624

Regione	Schede Aedes + GL_Aedes					TOTALE Schede
	A	AF	E + EF	(B+BF+C+CF+D+DF)	Senza Esito	
ABRUZZO	7707	562	2318	3268	261	14116
LAZIO	5614	1304	5934	2701	447	16000
MARCHE	12524	1565	9148	8496	446	32179
UMBRIA	8873	991	3770	4171	337	18142
Totale	34718	4422	21170	18636	1491	80437
%	43%	5%	26%	23%	2%	

Sono riportati i dati statistici delle verifiche di agibilità effettuate mediante le schede FAST (Fabbricati per l'Agibilità Sismica post-Terremoto) e AeDES (Agibilità e Danno nell'Emergenza Sismica) relative al sisma del 2016.

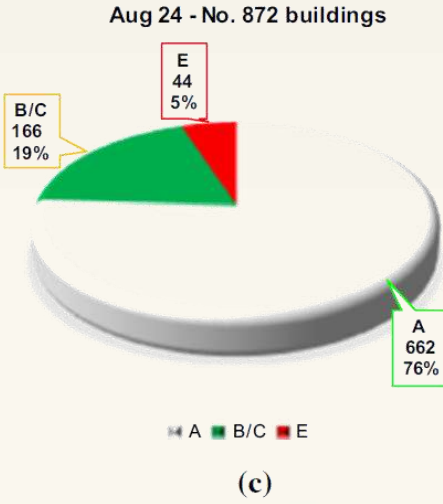
[Dati aggiornati al 03.04.2018 | Protezione Civile](#)

statistiche plessi scolastici

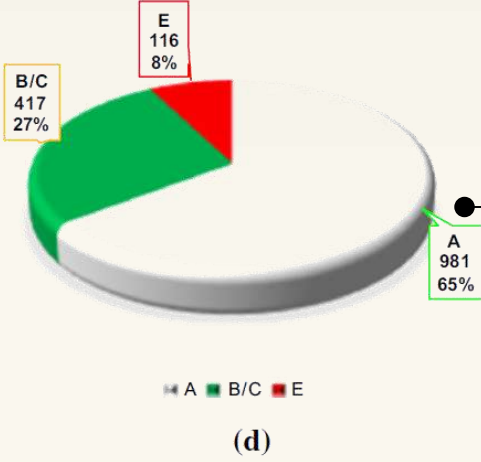


post 24.08.16

a. numero di edifici scolastici ispezionati in ogni regione
c. percentuale di strutture classificate A, B/C, E



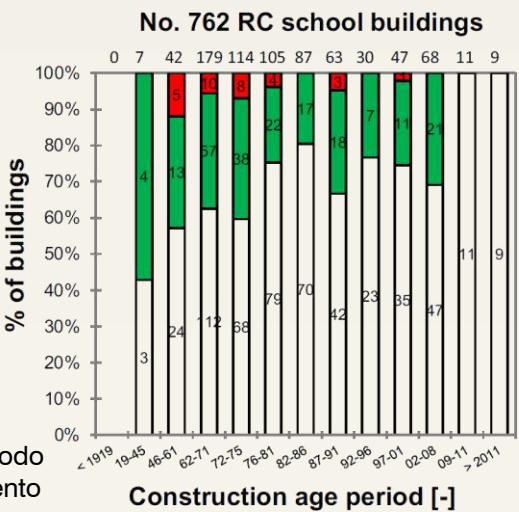
No. 1,514 buildings ● 447 analizzati più volte



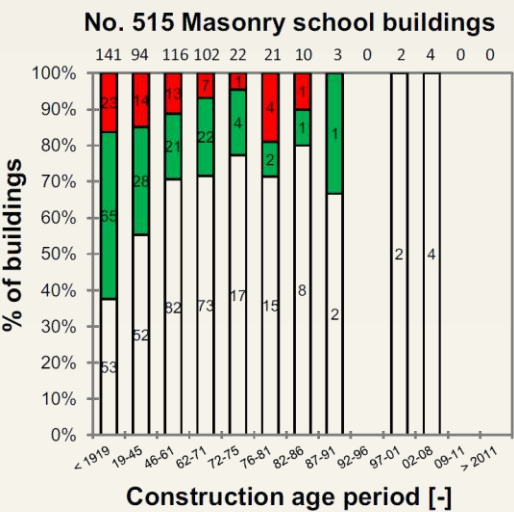
post intero sciame sismico
b. numero di edifici scolastici ispezionati in ogni regione
d. percentuale di strutture classificate A, B/C, E

Subito dopo il sisma del 24.08.2016 sono stati ispezionati 872 edifici scolastici da parte delle istituzioni nelle quattro regioni interessate ovvero Abruzzo, Lazio, Marche ed Umbria. Questo numero è aumentato drasticamente dopo l'intero sciame sismico.

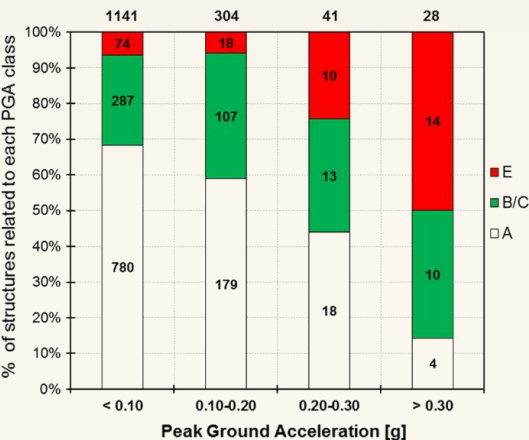
statistiche plessi scolastici



a. Distribuzione delle stime di utilizzabilità in funzione del periodo di costruzione di edifici in cemento armato



b. Distribuzione delle stime di utilizzabilità in funzione del periodo di costruzione di edifici in muratura



a. Distribuzione delle stime di utilizzabilità in funzione dell'accelerazione al suolo

I grafici riportano le stime di utilizzabilità sia in relazione alla tipologia costruttiva che all'accelerazione al suolo. Sono riportati i grafici relativi alle strutture in cemento armato (785, 52%) e in muratura (525, 35%). Il restante 13% si riferisce ad edifici in acciaio o misti.

Remarks on damage and response of school buildings after the Central Italy earthquake sequence

L'attività, iniziata il 06 Dicembre 2016, ha interessato tutti i plessi scolastici con esito E a seguito del sopralluogo effettuato mediante scheda AedES, per un totale di **83 corpi di fabbrica/68 plessi scolastici**.

MARCHE

49 corpi di fabbrica

ABRUZZO

15 corpi di fabbrica

UMBRIA

12 corpi di fabbrica

LAZIO

7 corpi di fabbrica

ReLUIS + Dipartimento di Protezione Civile + Commissario Delegato per la Ricostruzione

→ informativa tecnica per stabilire la **riparabilità o meno dei plessi scolastici classificati E** a seguito degli eventi sismici del 24 Agosto, 26 e 30 Ottobre.

Rete dei Laboratori Universitari di Ingegneria Sismica (ReLUIS) è un consorzio interuniversitario per coordinare l'attività dei Laboratori Universitari di Ingegneria Sismica, fornendo supporti scientifici, organizzativi, tecnici e finanziari alle Università consorziate e promuovendo la loro partecipazione alle attività scientifiche e tecnologiche.

vulnerabilità e stato di danno



COMMISSARIO STRAORDINARIO
RICOSTRUZIONE SISMA - 2016



- Sopralluogo
- Archiviazione materiale
- Valutazione di : Livello di danno (4 livelli)

Vulnerabilità sismica della struttura (bassa, significativa, alta)

	Stato di danno 1		Stato di danno 2	Stato di danno 3	Stato di danno 4
Vulnerabilità Bassa	L0		L1	L2	L4
Vulnerabilità Significativa	L0		L1	L3	L4
Vulnerabilità Alta	L0		L2	L3	L4

Conformemente a quanto riportato nella **ordinanza n.19** del Commissario per la Ricostruzione emessa dalla Regione Marche il 7.04.2017, ogni edificio viene caratterizzato da due elementi : la vulnerabilità e lo stato di danno. Questi sono essenziali per stabilire il livello operativo e i costi per l'intervento.

livelli operativi e contributi

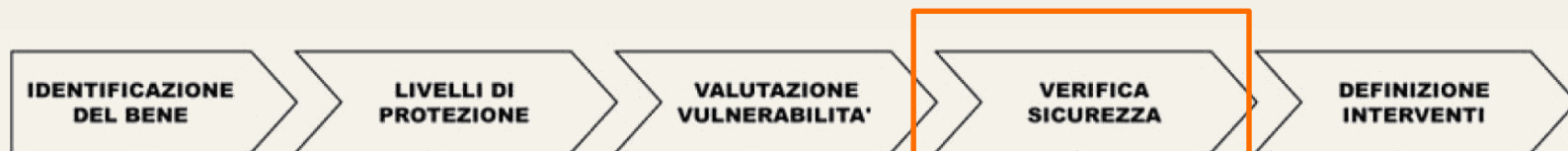


Costi parametrici riferiti ai livelli operativi della Tabella 5					
Costo parametrico	Livello operativo L0	Livello operativo L1	Livello operativo L2	Livello operativo L3	Livello operativo L4
Fino a 130 mq.	400	850	1100	1250	1450
Da 130 a 220 mq.	330	750	900	1100	1250
Oltre i 220 mq.	300	650	800	950	1100

Il livello operativo è il parametro discriminante tra un intervento di miglioramento piuttosto che di ricostruzione. Inoltre serve a stabilire il costo parametrico convenzionale dell'intervento. Scaturisce dalla combinazione dello Stato di Danno e del Grado di Vulnerabilità. *Per edifici con struttura in muratura, i costi parametrici relativi ai Livelli operativi L1 e L2 e L3 sono maggiorati del 20%. **incremento costo in particolari condizioni

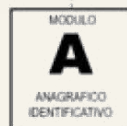


FASI



LC1

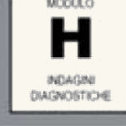
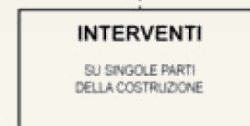
LIVELLO DI CONOSCENZA SPEDITIVO



LC2

LC3

LIVELLO DI CONOSCENZA ANALITICO



L'approccio conoscitivo rappresenta un percorso metodologico "inverso" rispetto agli edifici di nuova costruzione: dall'analisi della realtà materica della costruzione, attraverso successivi livelli di approfondimento, al riconoscimento del funzionamento strutturale accertato per la verifica della sicurezza sismica ai fini della definizione degli interventi.

[Linee Guida per la valutazione e riduzione del rischio sismico del patrimonio culturale](#)

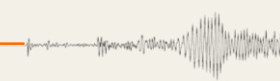


SCUOLA **B.TUCCI** ACQUASANTA TERME

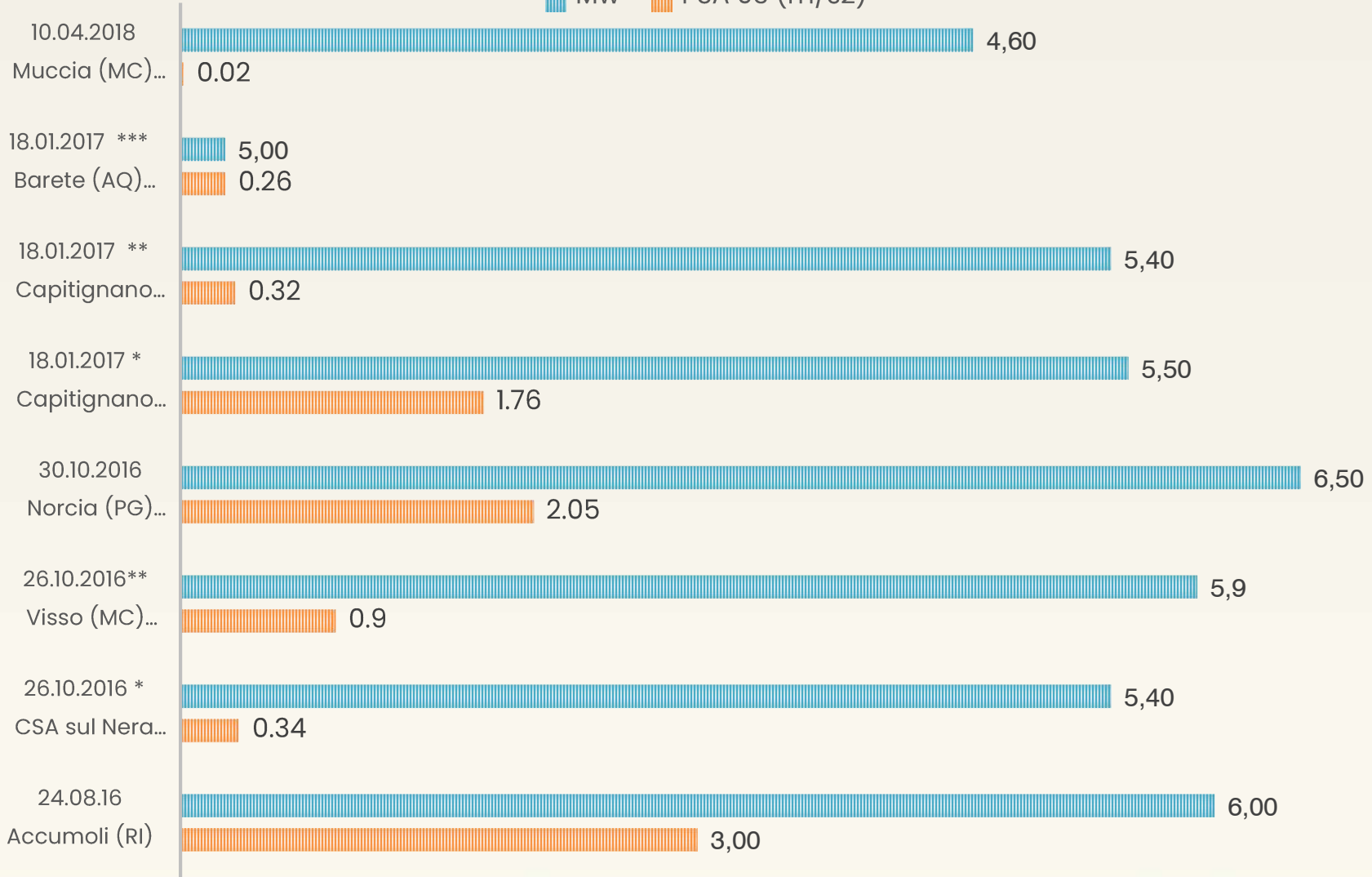


Adeguamento sismico
e funzionale del plesso
scolastico B. Tucci.

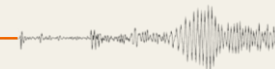
sismi dal 2016



Mw PSA 03 (m/s²)



Nel grafico sono riportati gli eventi sismici al 2016 in riferimento alla PSA03 (m/s²), ovvero la risposta spettrale per il periodo 0,3 secondi, della stazione di Acquasanta Terme e alla Magnitudo.
I dati sono stati ricavati dalla [Rete Accelerometrica Nazionale](#) per ciascun evento sismico.



identificazione del bene | geolocalizzazione



L'edificio si compone di due elementi:

-**corpo A (1921-1945)** con una struttura portante in muratura listata con pietra a spacco di travertino e passo verticale tra due ricorsi di listature circa 1 m, fondazione diretta cls non armato

-**corpo B (1977)** con una struttura in blocco 21 fori con tramezzi in cartongesso, travi c.a.

Il plesso scolastico "Berardo Tucci" è ubicato ad Acquasanta Terme (AP) in via Paolo Buonamici (catastale F.59 P.IIIa 145) vicino al centro storico.

classificazione del danno | AeDES



PROTEZIONE CIVILE
Protezione del Civile del Ministero dell'Interno

SCHEDA DI 1° LIVELLO DI RILEVAMENTO DANNO, PRONTO INTERVENTO E AGIBILITÀ PER EDIFICI ORDINARI NELL'EMERGENZA POST-SISMICA
(AeDES 07/2013)

ID SCHEDA:

SEZIONE 1 - IDENTIFICAZIONE EDIFICIO

Provincia: ASCOLI PICENO
Comune: ACQUASANTA TERME
Frazione/Località (differenziazione Isola): BONAHICCI
Indicare coordinate, località, via, ecc.:
1 ☐ VIA
2 ☐ CORSO
3 ☐ VICOLO
4 ☐ PIAZZA
5 ☐ ALTRO
COORDINATE: ☐ piano UTM ☐ geografiche ☐ altro
Fuso: 13° 35' 34" Datum: 1950 Monda: 42° 46' 40"
Est/Leng: 13° 34' 38"
DENOMINAZIONE EDIFICIO O PROPRIETARIO: SCUOLA BARBARO TUCCU
Codice Use: 1510
MAPPA DELL'AGGREGATO STRUTTURALE CON IDENTIFICAZIONE DELL'EDIFICIO

SEZIONE 2 - DESCRIZIONE EDIFICIO

Dati metrici		Eta (max 2)		Uso - esposizione	
N° Piani totali con interrati	Altezza media di piano (m)	Superficie media di piano (m²)	Costi in €	Uso	Utilizzazione
1	< 2.50	< 50	< 100	1	< 5%
2	2.50 - 3.49	50 - 69	100 - 495	2	30 - 65%
3	3.50 - 4.99	70 - 99	500 - 845	3	> 65%
4	5.00 - 6.99	100 - 129	850 - 1195	4	> 30%
5	7.00 - 8.99	130 - 159	1200 - 1595	5	> 15%
6	9.00 - 10.99	160 - 189	1600 - 2195	6	> 10%
7	11.00 - 12.99	190 - 219	2200 - 3000	7	> 5%
8	> 13.00	> 220	> 3100	8	> 0%

Isola Provincia MC Isola Comune AS Squadra 1 N° scheda 1 Data 13/08/13

SEZIONE 3 - TIPOLOGIA (Invaliscente: per gli edifici la muratura indicare al massimo 2 tipi di combinanti strutture verticali-sola)

Strutture verticali	STRUTTURE IN MURATURA										ALTRE STRUTTURE	
	Non identificata	Altrestruttura in muratura e di calcestruzzo (periferie non quadrate, ecc.)	Altrestruttura in muratura e di buona qualità (murature, murature, periferie quadrate, ecc.)	Altrestruttura in muratura e di buona qualità (murature, murature, periferie quadrate, ecc.)	Altrestruttura in muratura e di buona qualità (murature, murature, periferie quadrate, ecc.)	Altrestruttura in muratura e di buona qualità (murature, murature, periferie quadrate, ecc.)	Altrestruttura in muratura e di buona qualità (murature, murature, periferie quadrate, ecc.)	Altrestruttura in muratura e di buona qualità (murature, murature, periferie quadrate, ecc.)	Altrestruttura in muratura e di buona qualità (murature, murature, periferie quadrate, ecc.)	Altrestruttura in muratura e di buona qualità (murature, murature, periferie quadrate, ecc.)	Altrestruttura in muratura e di buona qualità (murature, murature, periferie quadrate, ecc.)	
1 Non identificata	<input type="checkbox"/>	<input type="checkbox"/>	<input type="checkbox"/>	<input type="checkbox"/>	<input type="checkbox"/>	<input type="checkbox"/>	<input type="checkbox"/>	<input type="checkbox"/>	<input type="checkbox"/>	<input type="checkbox"/>	<input type="checkbox"/>	
2 Volla senza catene	<input type="checkbox"/>	<input type="checkbox"/>	<input type="checkbox"/>	<input type="checkbox"/>	<input type="checkbox"/>	<input type="checkbox"/>	<input type="checkbox"/>	<input type="checkbox"/>	<input type="checkbox"/>	<input type="checkbox"/>	<input type="checkbox"/>	
3 Volla con catene	<input type="checkbox"/>	<input type="checkbox"/>	<input type="checkbox"/>	<input type="checkbox"/>	<input type="checkbox"/>	<input type="checkbox"/>	<input type="checkbox"/>	<input type="checkbox"/>	<input type="checkbox"/>	<input type="checkbox"/>	<input type="checkbox"/>	
4 Travi con solette infossate (travi in legno con solette infossate, travi e solette, ecc.)	<input type="checkbox"/>	<input type="checkbox"/>	<input type="checkbox"/>	<input type="checkbox"/>	<input type="checkbox"/>	<input type="checkbox"/>	<input type="checkbox"/>	<input type="checkbox"/>	<input type="checkbox"/>	<input type="checkbox"/>	<input type="checkbox"/>	
5 Travi con solette sovrapposte (travi in legno con solette sovrapposte, travi e solette, ecc.)	<input type="checkbox"/>	<input type="checkbox"/>	<input type="checkbox"/>	<input type="checkbox"/>	<input type="checkbox"/>	<input type="checkbox"/>	<input type="checkbox"/>	<input type="checkbox"/>	<input type="checkbox"/>	<input type="checkbox"/>	<input type="checkbox"/>	
6 Travi con solette rigide (travi in c.a. con solette rigide a solette di c.a.)	<input type="checkbox"/>	<input type="checkbox"/>	<input type="checkbox"/>	<input type="checkbox"/>	<input type="checkbox"/>	<input type="checkbox"/>	<input type="checkbox"/>	<input type="checkbox"/>	<input type="checkbox"/>	<input type="checkbox"/>	<input type="checkbox"/>	

SEZIONE 4 - DANNI AD ELEMENTI STRUTTURALI e provvedimenti di pronto intervento (P.I.) eseguiti

Livello estensione	Danno										Provvedimenti di P.I. eseguiti									
	D4 - D5 Gravissimo					D2 - D3 Medio-Grave					D1 Leggero					Provvedimenti di P.I. eseguiti				
1 Strutture verticali	<input type="checkbox"/>	<input type="checkbox"/>	<input type="checkbox"/>	<input type="checkbox"/>	<input type="checkbox"/>	<input type="checkbox"/>	<input type="checkbox"/>	<input type="checkbox"/>	<input type="checkbox"/>	<input type="checkbox"/>	<input type="checkbox"/>	<input type="checkbox"/>	<input type="checkbox"/>	<input type="checkbox"/>	<input type="checkbox"/>	<input type="checkbox"/>	<input type="checkbox"/>			
2 Soli	<input type="checkbox"/>	<input type="checkbox"/>	<input type="checkbox"/>	<input type="checkbox"/>	<input type="checkbox"/>	<input type="checkbox"/>	<input type="checkbox"/>	<input type="checkbox"/>	<input type="checkbox"/>	<input type="checkbox"/>	<input type="checkbox"/>	<input type="checkbox"/>	<input type="checkbox"/>	<input type="checkbox"/>	<input type="checkbox"/>	<input type="checkbox"/>	<input type="checkbox"/>			
3 Scale	<input type="checkbox"/>	<input type="checkbox"/>	<input type="checkbox"/>	<input type="checkbox"/>	<input type="checkbox"/>	<input type="checkbox"/>	<input type="checkbox"/>	<input type="checkbox"/>	<input type="checkbox"/>	<input type="checkbox"/>	<input type="checkbox"/>	<input type="checkbox"/>	<input type="checkbox"/>	<input type="checkbox"/>	<input type="checkbox"/>	<input type="checkbox"/>	<input type="checkbox"/>			
4 Coperture	<input type="checkbox"/>	<input type="checkbox"/>	<input type="checkbox"/>	<input type="checkbox"/>	<input type="checkbox"/>	<input type="checkbox"/>	<input type="checkbox"/>	<input type="checkbox"/>	<input type="checkbox"/>	<input type="checkbox"/>	<input type="checkbox"/>	<input type="checkbox"/>	<input type="checkbox"/>	<input type="checkbox"/>	<input type="checkbox"/>	<input type="checkbox"/>	<input type="checkbox"/>			
5 Temporeture - Tramezzati	<input type="checkbox"/>	<input type="checkbox"/>	<input type="checkbox"/>	<input type="checkbox"/>	<input type="checkbox"/>	<input type="checkbox"/>	<input type="checkbox"/>	<input type="checkbox"/>	<input type="checkbox"/>	<input type="checkbox"/>	<input type="checkbox"/>	<input type="checkbox"/>	<input type="checkbox"/>	<input type="checkbox"/>	<input type="checkbox"/>	<input type="checkbox"/>	<input type="checkbox"/>			
6 Danno preesistente	<input type="checkbox"/>	<input type="checkbox"/>	<input type="checkbox"/>	<input type="checkbox"/>	<input type="checkbox"/>	<input type="checkbox"/>	<input type="checkbox"/>	<input type="checkbox"/>	<input type="checkbox"/>	<input type="checkbox"/>	<input type="checkbox"/>	<input type="checkbox"/>	<input type="checkbox"/>	<input type="checkbox"/>	<input type="checkbox"/>	<input type="checkbox"/>	<input type="checkbox"/>			

SEZIONE 5 - DANNI AD ELEMENTI NON STRUTTURALI e provvedimenti di pronto intervento (P.I.) eseguiti

Tipo di danno	Presenza Danno	Provvedimenti di P.I. eseguiti						
		Assente	Parziale	Altezza	Altezza	Altezza	Altezza	Altezza
1 Danno alle pareti, rivestimenti, controsoffitti, ecc.	<input type="checkbox"/>	<input type="checkbox"/>	<input type="checkbox"/>	<input type="checkbox"/>	<input type="checkbox"/>	<input type="checkbox"/>	<input type="checkbox"/>	<input type="checkbox"/>
2 Calata tegole, cornici, case farnate, ecc.	<input type="checkbox"/>	<input type="checkbox"/>	<input type="checkbox"/>	<input type="checkbox"/>	<input type="checkbox"/>	<input type="checkbox"/>	<input type="checkbox"/>	<input type="checkbox"/>
3 Calata condotti, parafuochi, ecc.	<input type="checkbox"/>	<input type="checkbox"/>	<input type="checkbox"/>	<input type="checkbox"/>	<input type="checkbox"/>	<input type="checkbox"/>	<input type="checkbox"/>	<input type="checkbox"/>
4 Calata altri oggetti interni e esterni	<input type="checkbox"/>	<input type="checkbox"/>	<input type="checkbox"/>	<input type="checkbox"/>	<input type="checkbox"/>	<input type="checkbox"/>	<input type="checkbox"/>	<input type="checkbox"/>
5 Danno alla rete elettrica, fognaria e termoidraulica	<input type="checkbox"/>	<input type="checkbox"/>	<input type="checkbox"/>	<input type="checkbox"/>	<input type="checkbox"/>	<input type="checkbox"/>	<input type="checkbox"/>	<input type="checkbox"/>
6 Danno alla rete elettrica e del gas	<input type="checkbox"/>	<input type="checkbox"/>	<input type="checkbox"/>	<input type="checkbox"/>	<input type="checkbox"/>	<input type="checkbox"/>	<input type="checkbox"/>	<input type="checkbox"/>

SEZIONE 6 - Pericolo ESTERNO indotto da altre costruzioni, reti, versanti e provvedimenti di pronto intervento (P.I.) eseguiti

Causa	Pericolo su:				Provvedimenti di P.I. eseguiti			
	Assente	Edificio	Via d'accesso a di fuga	Via interne	Assente	Divieto di accesso	Barriere protettive	Barriere protettive
1 Crolli o caduta oggetti da edifici adiacenti	<input type="checkbox"/>	<input type="checkbox"/>	<input type="checkbox"/>	<input type="checkbox"/>	<input type="checkbox"/>	<input type="checkbox"/>	<input type="checkbox"/>	<input type="checkbox"/>
2 Crolli di reti di distribuzione	<input type="checkbox"/>	<input type="checkbox"/>	<input type="checkbox"/>	<input type="checkbox"/>	<input type="checkbox"/>	<input type="checkbox"/>	<input type="checkbox"/>	<input type="checkbox"/>
3 Crolli da versanti instabili	<input type="checkbox"/>	<input type="checkbox"/>	<input type="checkbox"/>	<input type="checkbox"/>	<input type="checkbox"/>	<input type="checkbox"/>	<input type="checkbox"/>	<input type="checkbox"/>

SEZIONE 7 - TERRENO E FONDAZIONI

Morfologia del sito		Danni alle fondazioni	
1 Orizzale	2 Pendio forte	3 Pendio leggero	4 Piani
5 Assenti	6 Generati dal sisma	7 Crolli del terreno	8 Presenti

Isola Provincia MC Isola Comune AS Squadra 1 N° scheda 1 Data 13/08/13

SEZIONE 8 - Giudizio di agibilità

B-A Valutazione del rischio

Rischio	Escluso (Sec. 3)	Strutturale (Sec. 2 e 4)	Non Strutturale (Sec. 5)	Derivato (Sec. 6)
Basso	<input type="checkbox"/>	<input type="checkbox"/>	<input type="checkbox"/>	<input type="checkbox"/>
Basso con provvedimenti	<input type="checkbox"/>	<input type="checkbox"/>	<input type="checkbox"/>	<input type="checkbox"/>
Alto	<input type="checkbox"/>	<input type="checkbox"/>	<input type="checkbox"/>	<input type="checkbox"/>

B-B Esito di agibilità

Esito	Edificio AGIBILE (*)	Edificio TEMPORANEAMENTE INAGIBILE (Sec. 3)	Edificio PARZIALMENTE INAGIBILE (2)	Edificio TEMPORANEAMENTE INAGIBILE da rivedere con approfondimenti (3)	Edificio INAGIBILE (4)	Edificio INAGIBILE per rischio esterno (5)
A	<input type="checkbox"/>	<input type="checkbox"/>	<input type="checkbox"/>	<input type="checkbox"/>	<input type="checkbox"/>	<input type="checkbox"/>
B	<input type="checkbox"/>	<input type="checkbox"/>	<input type="checkbox"/>	<input type="checkbox"/>	<input type="checkbox"/>	<input type="checkbox"/>
C	<input type="checkbox"/>	<input type="checkbox"/>	<input type="checkbox"/>	<input type="checkbox"/>	<input type="checkbox"/>	<input type="checkbox"/>
D	<input type="checkbox"/>	<input type="checkbox"/>	<input type="checkbox"/>	<input type="checkbox"/>	<input type="checkbox"/>	<input type="checkbox"/>
E	<input type="checkbox"/>	<input type="checkbox"/>	<input type="checkbox"/>	<input type="checkbox"/>	<input type="checkbox"/>	<input type="checkbox"/>
F	<input type="checkbox"/>	<input type="checkbox"/>	<input type="checkbox"/>	<input type="checkbox"/>	<input type="checkbox"/>	<input type="checkbox"/>

B-C Unità immobiliari inagibili, famiglie e persone evacuate

Unità immobiliari inagibili 1 Nuclei familiari evacuati 1 N° persone evacuate 1

SEZIONE 9 - Altre osservazioni

Sul danno, sui provvedimenti di pronto intervento, l'agibilità o altro

ANNOZZIONI

FOCE d'uscite dell'edificio

SPIRE

SI CONSIGLIA DI TRANSANNARE IL PERIMETRO DELL'EDIFICIO PER GARANTIRE UN ACCESSO SICURO ALLA SCUOLA MEDIA NELLE VICINANZE

[Colore d'uso MULTICOLORE: 502 e 503]

I componenti della squadra di sopralluogo (stampatello)

PAOLO MONTANI
FRANCESCO GRABOTTI
MARTINA MURIELLA

Firma

[Firma]

Per affrontare in maniera sistematica la classificazione del danno subito a seguito dell'evento sismico, è necessario fare riferimento alla scheda AeDES (Agibilità e Danno nell'Emergenza Sismica).

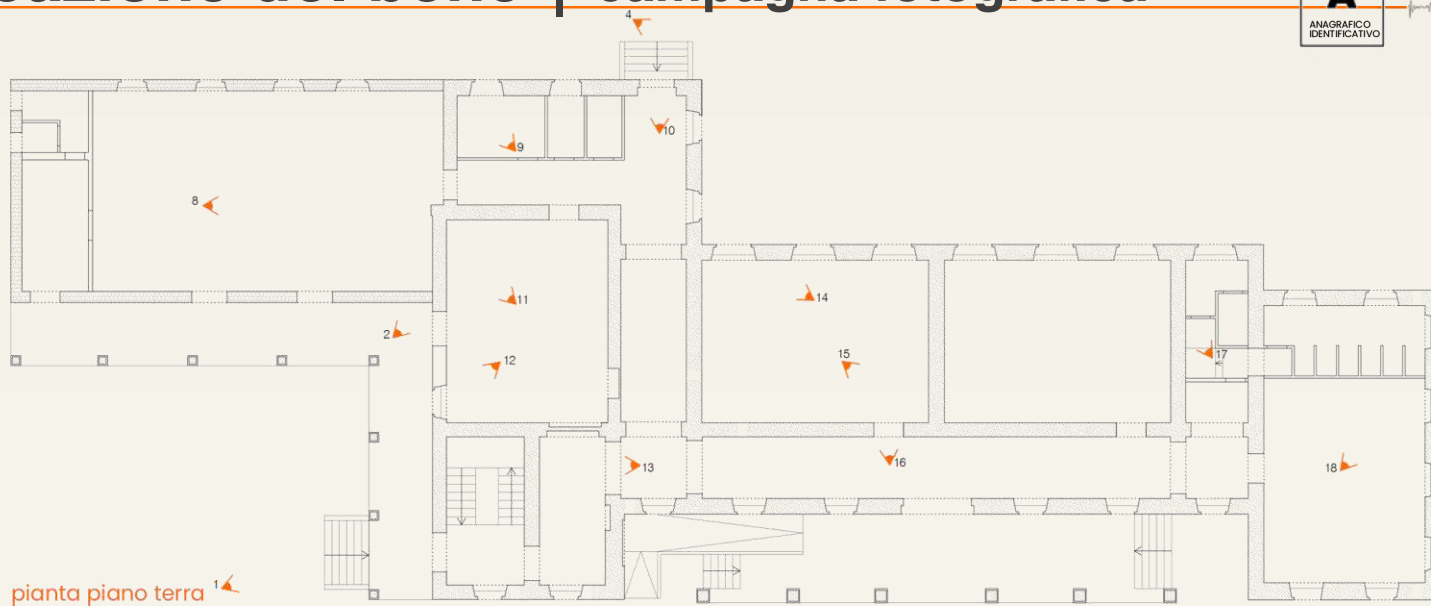
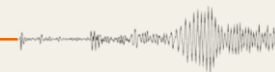
identificazione del bene | campagna fotografica

IDENTIFICAZIONE
DEL BENE

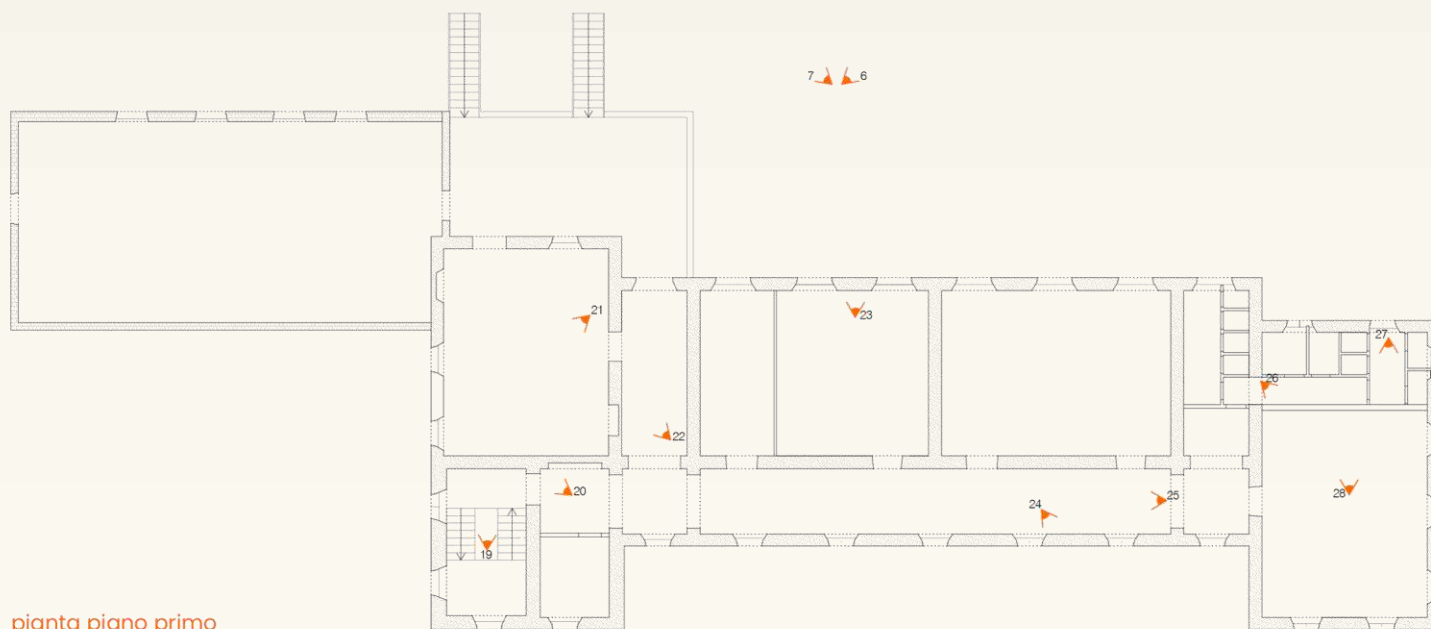
modulo

A

ANAGRAFICO
IDENTIFICATIVO

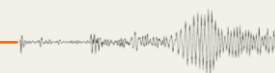


pianta piano terra

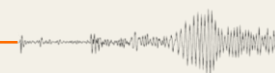


pianta piano primo

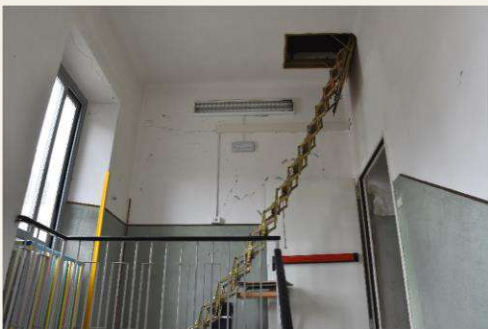
identificazione del bene | campagna fotografica



identificazione del bene | campagna fotografica



identificazione del bene | campagna fotografica



fattori di sensibilità | carta geologica

LIVELLI DI PROTEZIONE

modulo
B
FATTORI DI SENSIBILITÀ

LEGENDA GEOLOGICA

DEPOSITI CONTINENTALI QUATERNARI VERSANTE MARCHIGIANO

- SISTEMA DEL MUSONE (OLOCENE)**
- MUSa1 Frane in evoluzione
 - MUSa Depositi di versante
 - MUSb2 Depositi eluvio-colluviali
 - MUSb Depositi alluvionali attuali (ghiaia, sabbia, limo)
 - MUSbn Depositi alluvionali terrazzati (ghiaia, sabbia, limo)
 - MUSf1 Travertino

SISTEMA DI MATELICA (PLEISTOCENE SUPERIORE)

- MT1a Depositi di versante

SUPERSISTEMA DI COLLE ULIVO-COLONIA MONTANI (PLEISTOCENE MEDIO-SOMMITALE)

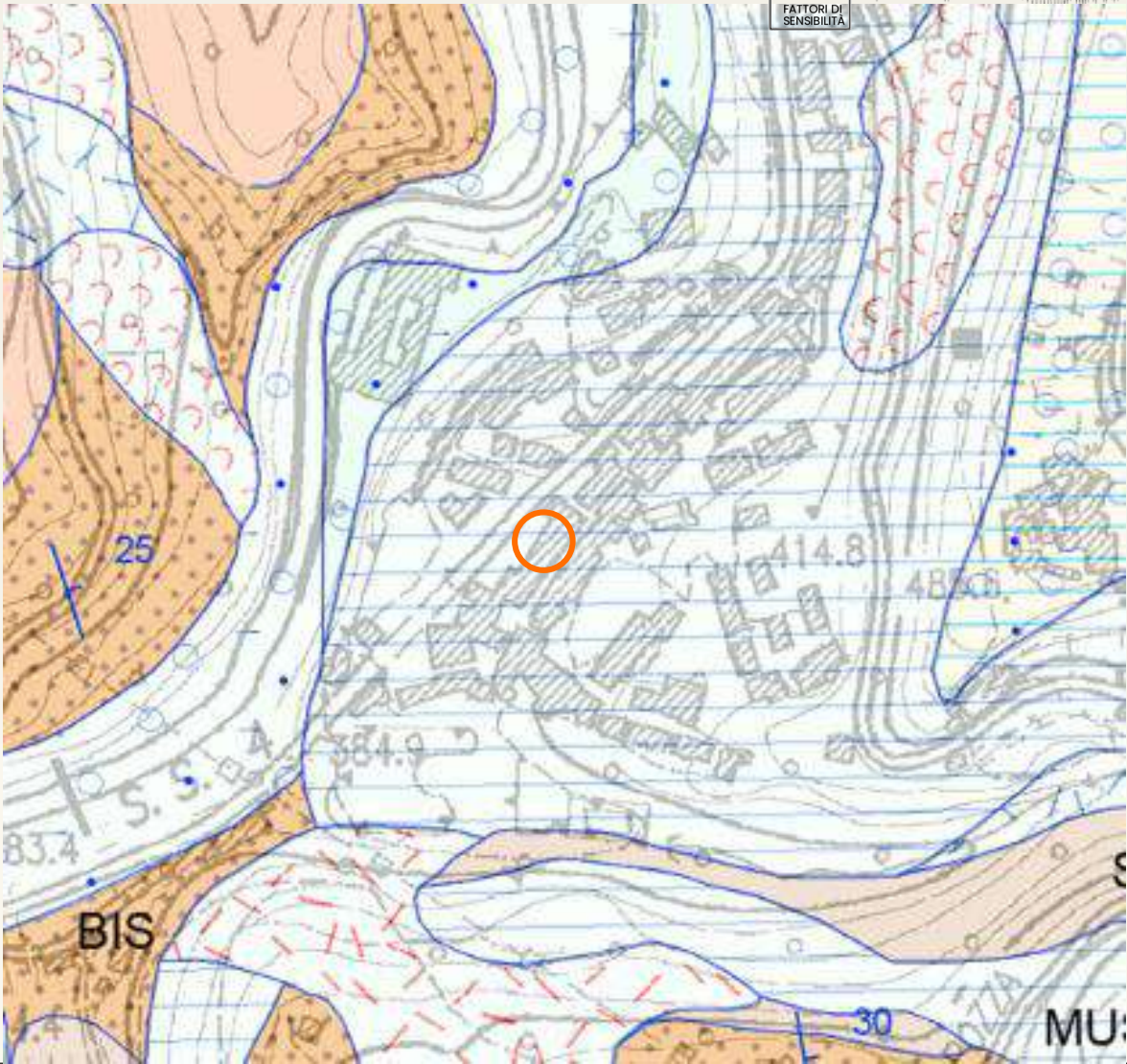
- AC2n3 Depositi alluvionali terrazzati di Colle Ulivo (ghiaia, sabbia, limo)

SUCCESSIONE UMBRO-MARCHIGIANO-ROMAGNOLA SUCCESSIONE MIOCENICA

- LAG1d FORMAZIONE DELLA LAGA
Membro pre-evaporitico
Itolofes arenaceo-pellica
Messiniano p.p.
- LAG1c FORMAZIONE DELLA LAGA
Membro pre-evaporitico
Itolofes arenacea
Messiniano p.p.
- LAG1b FORMAZIONE DELLA LAGA
Membro pre-evaporitico
Itolofes arenaceo-pellica a grandi bancori
Messiniano p.p.
- MAP Marna a Pteropodi
Tortoniano - Messiniano

SUCCESSIONE CALCAREO E/O MARNOSA CRETACICO-MIOCENICA

- CRR MARNE CON CERROGNA
Burdigaliano - Tortoniano
- CRRa MARNE CON CERROGNA
Intercalazioni torbidiche
Burdigaliano - Tortoniano
- BIS BISCIARO
Aquitano p.p. - Burdigaliano p.p.
- SCC SCAGLIA CINEREA
Priaboniano p.p. - Aquitano p.p.
- VAS SCAGLIA VARIEGATA
Luteziano p.p. - Priaboniano p.p.
- SAA SCAGLIA ROSSA
Turoniano inf. p.p. - Luteziano p.p.
- Contatto stratigrafico e/o litologico
- ~~~~~ Contatto stratigrafico inconforme
- - - - - Faglia
- ⊥ Stratificazione dritta
- + Stratificazione orizzontale dritta



La carta geologica è la rappresentazione su una base topografica dei differenti corpi rocciosi che affiorano sulla superficie terrestre, della loro disposizione spaziale e dei rapporti che esistono tra i vari tipi di rocce.

Il diagramma illustra il processo di valutazione della vulnerabilità, suddiviso in due fasi principali:

- Modulo C: MORFOLOGIA DEI COMPONENTI**
- Modulo D: VALUTAZIONE DEL DANNO**

Un'onda sonora e un orologio sono visibili a destra del diagramma.

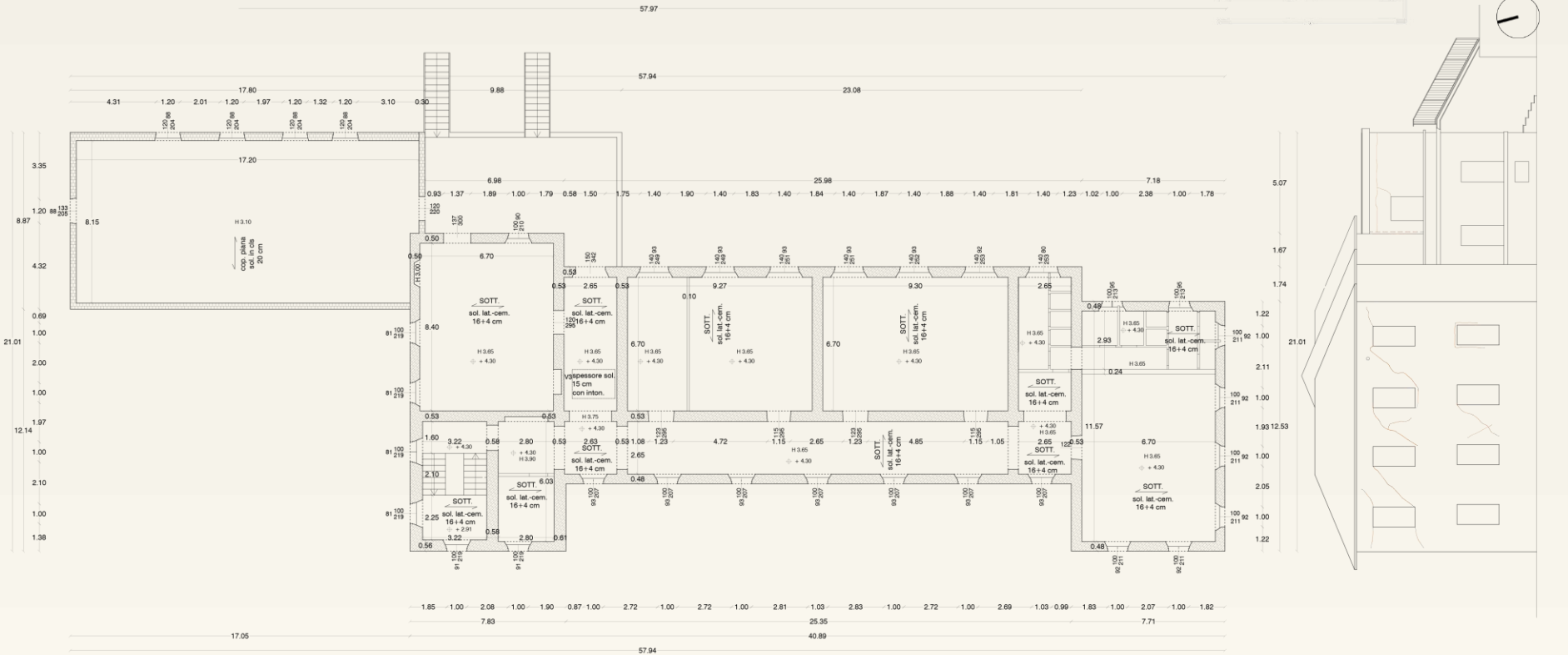


valutazione vulnerabilità | quadro fessurativo

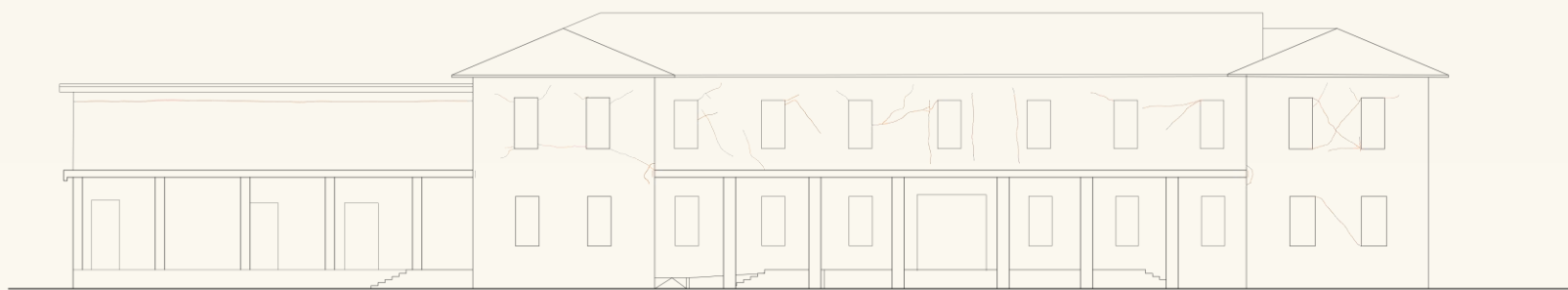
VALUTAZIONE
VULNERABILITA'

modulo
C
MORFOLOGIA DEI
COMPONENTI

modulo
D
VALUTAZIONE
DEL DANNO



pianta piano PRIMO





MINISTERO
PER I BENI E
LE ATTIVITÀ
CULTURALI

(LG BC 2.5)

$$f_{a,SLV} = \frac{a_{SLV}}{a_{g,SLV}}$$

a_{SLV} [MIBACT | valutazione azione sismica](#) | Analisi LV1

$a_{g,SLV}$ [Consiglio Superiore dei Lavori Pubblici](#) | Spettri NTC

Il **fattore di accelerazione** $f_{a,SLV}$ è definito dal rapporto tra l'accelerazione al suolo a_{SLV} che porta al raggiungimento dello stato limite SLV e l'accelerazione di riferimento $a_{g,SLV}$ entrambi riferiti alla categoria di sottosuolo A.
 $f_{a,SLV}$ è la **percentuale di accelerazione che la struttura è in grado di sopportare**.

verifica di sicurezza | valutazione azione sismica sito



Parametri e punti dello spettro di risposta orizzontale per lo stato limite: SLV

Parametri indipendenti

STATO LIMITE	SLV
a_g	0,252 g
F_0	2,461
T_c	0,348 s
S_S	1,000
C_C	1,000
S_T	1,000
q	3,000

Parametri dipendenti

S	1,000
η	0,333
T_B	0,116 s
T_C	0,348 s
T_D	2,608 s

Espressioni dei parametri dipendenti

$$S = S_S \cdot S_T \quad (\text{NTC-08 Eq. 3.2.5})$$

$$\eta = \sqrt{10 / (5 + \xi)} \geq 0,55; \quad \eta = 1 / q \quad (\text{NTC-08 Eq. 3.2.6; §. 3.2.3.5})$$

$$T_B = T_C / 3 \quad (\text{NTC-07 Eq. 3.2.8})$$

$$T_C = C_C \cdot T_C^* \quad (\text{NTC-07 Eq. 3.2.7})$$

$$T_D = 4,0 \cdot a_g / g + 1,6 \quad (\text{NTC-07 Eq. 3.2.9})$$

Espressioni dello spettro di risposta (NTC-08 Eq. 3.2.4)

$$0 \leq T < T_B \quad S_e(T) = a_g \cdot S \cdot \eta \cdot F_0 \cdot \left[\frac{T}{T_B} + \frac{1}{\eta \cdot F_0} \left(1 - \frac{T}{T_B} \right) \right]$$

$$T_B \leq T < T_C \quad S_e(T) = a_g \cdot S \cdot \eta \cdot F_0$$

$$T_C \leq T < T_D \quad S_e(T) = a_g \cdot S \cdot \eta \cdot F_0 \cdot \left(\frac{T_C}{T} \right)$$

$$T_D \leq T \quad S_e(T) = a_g \cdot S \cdot \eta \cdot F_0 \cdot \left(\frac{T_C \cdot T_D}{T^2} \right)$$

Lo spettro di progetto $S_d(T)$ per le verifiche agli Stati Limite Ultimi è ottenuto dalle espressioni dello spettro elastico $S_e(T)$ sostituendo η con $1/q$, dove q è il fattore di struttura. (NTC-08 § 3.2.3.5)

Punti dello spettro di risposta

T [s]	Se [g]
0,000	0,252
0,116	0,207
0,348	0,207
0,456	0,158
0,563	0,128
0,671	0,107
0,779	0,092
0,886	0,081
0,994	0,072
1,101	0,065
1,209	0,060
1,317	0,055
1,424	0,051
1,532	0,050
1,639	0,050
1,747	0,050
1,855	0,050
1,962	0,050
2,070	0,050
2,177	0,050
2,285	0,050
2,393	0,050
2,500	0,050
2,608	0,050
2,674	0,050
2,740	0,050
2,807	0,050
2,873	0,050
2,939	0,050
3,006	0,050
3,072	0,050
3,138	0,050
3,204	0,050
3,271	0,050
3,337	0,050
3,403	0,050
3,470	0,050
3,536	0,050
3,602	0,050
3,669	0,050
3,735	0,050
3,801	0,050
3,867	0,050
3,934	0,050
4,000	0,050

Lo spettro di risposta elastico $S_e(T)$ è un diagramma che fornisce, per diversi periodi T di oscillazione, il **massimo valore di risposta della struttura** (pseudoaccelerazione), per un fissato valore del rapporto di smorzamento.

La verifica dell' idoneità del programma, l' utilizzo dei risultati da esso ottenuti sono onere e responsabilità esclusiva dell'utente. Il Consiglio Superiore dei Lavori Pubblici non potrà essere ritenuto responsabile dei danni risultanti dall' utilizzo dell

L'azione sismica di progetto per il sito di Acquasanta Terme è stata calcolata mediante il documento Excel “SPETTRI-NTC” (scaricato dal sito del [Consiglio Superiore dei Lavori Pubblici](#)) che fornisce gli spettri di risposta rappresentativi della stessa.



palazzi, ville ed altre strutture con pareti di spina ed orizzontamenti intermedi

$$S_{e,SLV}(T_1) = \frac{qF_{SLV}}{e * M}$$

Ordinata spettrale che porta al
raggiungimento SLV

L'analisi LV1 è necessaria per le valutazioni della sicurezza sismica da effettuarsi a scala territoriale su tutti i beni culturali tutelati. Questo livello di conoscenza permette di **valutare l'accelerazione di collasso**, attraverso un metodo semplificato. Infatti non vengono considerati tutti i parametri, ma ci si limita ad un numero definito di carattere geometrico e meccanico.

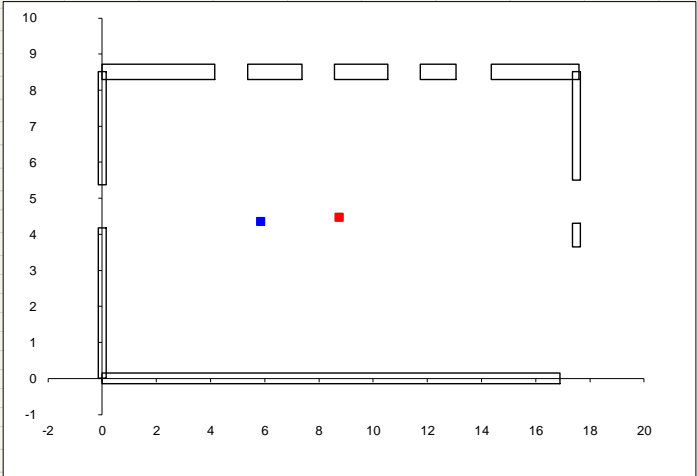


(LG BC 5.2)

$$S_{e,SLV}(T_1) = \frac{qF_{SLV}}{e * M}$$

Ordinata spettrale che porta al raggiungimento SLV

ζ_{xi}	0,8	ζ_{yi}	0,8
ζ_x	0,8	ζ_y	0,8
κ_i	1	κ_i	1
N_{mod}	6,00	N_{mod}	4,00
β_{xi}	1,050595	β_{yi}	1,25
$\Sigma A_{xi,j}$	10,41	$\Sigma A_{yi,j}$	3,29
$(\Sigma A_{xi,j})^2$	108,33	$(\Sigma A_{yi,j})^2$	10,83
$\Sigma A_{xi,j}^2$	32,33	$\Sigma A_{yi,j}^2$	3,31
μ_{xi}	0,822194	μ_{yi}	0,906
$\Sigma S_{x,j}$	19,22		
$\Sigma S_{x,j}$	45,43		
XR [m]	5,838651	Centro delle rigidzze come baricentro delle murature	
YR [m]	4,364643		
XG [m]	8,74	Centro delle masse	
YG [m]	4,48		
ex [m]	2,901349		
ey [m]	0,115357		
dx [m]	7,52		
dy [m]	4,56		
$\Sigma A_{xi,j} \tau_{d,i,j}$	4042,01	$F_{SLU,xi}$ [kN]	2024,491
$\Sigma A_{yi,j} \tau_{d,i,j}$	1134,07	$F_{SLU,yi}$ [kN]	526,0625



F=526 KN

Muro	x ₀	y ₀	Sp.	Lung.	α	τ _{0d}	σ _{0i}	Muro x	Muro y	A _{x,j}	A _{x,j}	A _{x,j} ²	A _{y,j}	A _{y,j} ²	τ _{d,j}	A _{x,j} τ _{d,j}	A _{y,j} τ _{d,j}	S _{y,j}	S _{x,j}
	[m]	[m]	[m]	[m]	[°]	[N/mm ²]	[N/mm ²]	[-]	[-]	[m ²]	[m ²]	[m ⁴]	[m ²]	[m ⁴]	[N/mm ²]	[kN]	[kN]	[m ³]	[m ³]
1	0,00	2,09	0,30	4,17	90,00	0,22	0,03	0,00	1,00	1,25	0,00	0,00	1,25	1,57	0,343926	2,64E-14	430,2511	0	1,6E-16
2	0,00	6,94	0,30	3,14	90,00	0,22	0,03	0,00	1,00	0,94	0,00	0,00	0,94	0,89	0,344096	1,99E-14	324,138	0	4E-16
3	2,08	8,51	0,42	4,16	0,00	0,22	0,10	1,00	0,00	1,75	1,75	3,05	0,00	0,00	0,376196	657,2888	0	14,86867	
4	6,37	8,51	0,42	2,01	0,00	0,22	0,13	1,00	0,00	0,84	0,84	0,71	0,00	0,00	0,389636	328,9311	0	7,184142	
5	9,55	8,51	0,42	1,97	0,00	0,22	0,13	1,00	0,00	0,83	0,83	0,68	0,00	0,00	0,389916	322,6162	0	7,041174	
6	12,40	8,51	0,42	1,32	0,00	0,22	0,15	1,00	0,00	0,55	0,55	0,31	0,00	0,00	0,398648	221,0102	0	4,717944	
7	15,98	8,51	0,42	3,25	0,00	0,22	0,10	1,00	0,00	1,37	1,37	1,86	0,00	0,00	0,377343	515,0729	0	11,61615	
8	17,50	7,01	0,30	3,01	90,00	0,22	0,03	0,00	1,00	0,90	0,00	0,00	0,90	0,82	0,345746	1,91E-14	312,2088	15,8025	3,88E-16
9	17,50	3,98	0,30	0,65	90,00	0,22	0,03	0,00	1,00	0,20	0,00	0,00	0,20	0,04	0,346003	4,13E-15	67,47068	3,4125	4,75E-17
10	8,45	0,00	0,30	16,90	0,00	0,22	0,14	1,00	0,00	5,07	5,07	25,70	0,00	0,00	0,393903	1997,088	0	0	0

Si stima il taglio alla base che provoca lo SLV partendo dalla geometria dei maschi murari e dalle loro caratteristiche meccaniche e geometriche. La resistenza a taglio dell'edificio viene ottenuta come la minore tra quelle valutate secondo due direzioni perpendicolari, scelte in genere secondo gli assi prevalenti dei muri portanti. (LG BC)

verifica sicurezza | taglio alla base corpo A P1

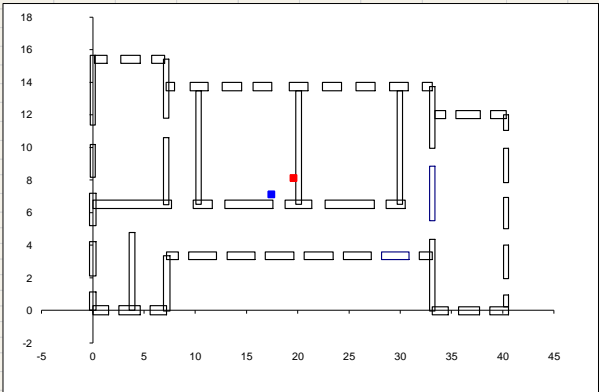


MINISTERO
PER I BENI E
LE ATTIVITÀ
CULTURALI



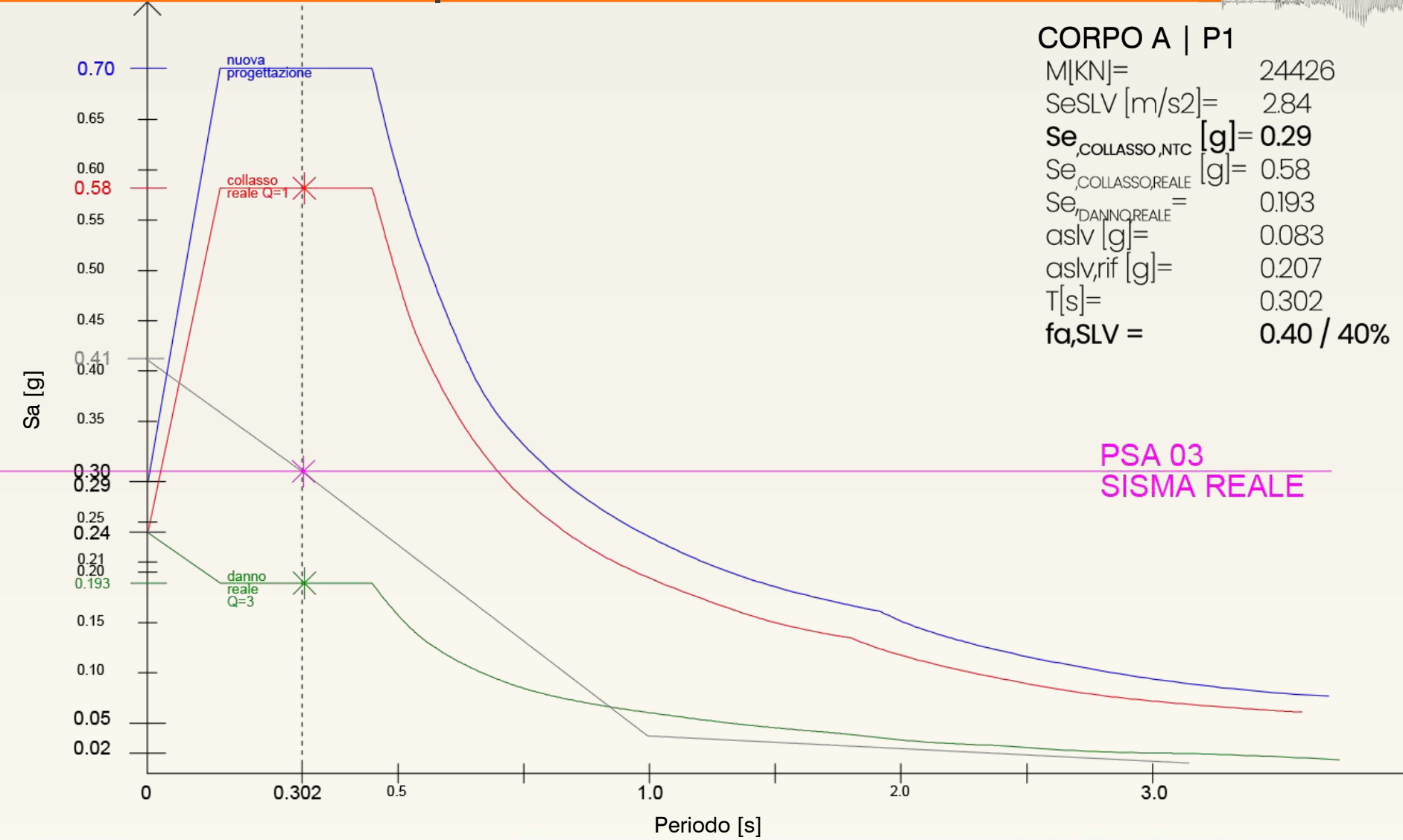
ε_{mi}	1	ε_{my}	1
ζ_x	0,8	ζ_y	0,8
K_i	1	K_i	1
N_{mi}	35,00	N_{mi}	20,00
β_x	1,25	β_y	1,188242
ΣA_{xi}	39,39	ΣA_{yi}	36,28
$(\Sigma A_{xi})^2$	1551,84	$(\Sigma A_{yi})^2$	1315,98
ΣA_{xi}^2	60,25	ΣA_{yi}^2	86,44
μ_x	0,880181	μ_y	0,887989
ΣS_{xi}	631,27		
ΣS_{xi}	280,16		
XR [m]	17,40171	Centro delle rigidzze come baricentro delle murature	
YR [m]	7,111753	Centro delle masse	
XG [m]	19,5825		
YG [m]	8,1208		
ex [m]	2,180788		
ey [m]	1,009047		
dx [m]	23,17		
dy [m]	6,86		

$\Sigma A_{xi} \tau_{di}$	4031,77	$F_{RLU,xi}$ [kN]	2271,162
$\Sigma A_{yi} \tau_{di}$	3851,77	$F_{RLU,yi}$ [kN]	2302,783



Muro	x ₀	y ₀	Sp.	Lung.	α	τ ₀₂	σ ₀₁	Muro x	Muro y	A _{xi}	A _{xi}	A _{xi} ²	A _{yi}	A _{yi} ²	τ _{di}	A _{xi} τ _{di}	A _{yi} τ _{di}	S _{xi}	S _{xi}
	[m]	[m]		[m]	[°]	[N/mm ²]	[N/mm ²]	[m]	[m]	[m ²]	[m ²]	[m ³]	[m]	[m ²]	[N/mm ²]	[N/mm ²]	[N/mm ²]	[m]	[m]
1	0,00	0,56	0,63	1,12	90,00	0,04	0,12	0,00	1,00	0,71	0,00	0,00	0,71	0,50	0,10761	4,65126E-15	75,92966	0	2,4205E-17
2	0,00	3,15	0,63	2,10	90,00	0,04	0,10	0,00	1,00	1,32	0,00	0,00	1,32	1,75	0,101283	8,20837E-15	133,998	0	2,5529E-16
3	0,00	6,19	0,63	1,97	90,00	0,04	0,11	0,00	1,00	1,24	0,00	0,00	1,24	1,54	0,102576	7,79852E-15	127,3074	0	4,706E-16
4	0,00	9,17	0,50	2,00	90,00	0,04	0,16	0,00	1,00	1,00	0,00	0,00	1,00	1,00	0,117483	7,19673E-15	117,4834	0	5,6173E-16
5	0,00	13,51	0,50	4,30	90,00	0,04	0,13	0,00	1,00	2,15	0,00	0,00	2,15	4,62	0,110048	1,44938E-14	236,6042	0	1,7793E-15
6	0,78	15,41	0,50	1,23	0,00	0,04	0,05	1,00	0,00	0,62	0,62	0,38	0,00	0,00	0,084349	51,87461593	0	0	9,47715
7	3,68	15,41	0,50	1,89	0,00	0,04	0,05	1,00	0,00	0,95	0,95	0,89	0,00	0,00	0,084762	80,09970037	0	0	14,56245
8	6,39	15,41	0,50	1,26	0,00	0,04	0,05	1,00	0,00	0,63	0,63	0,40	0,00	0,00	0,084771	53,40591728	0	0	9,7083
9	7,15	13,60	0,53	3,62	90,00	0,04	0,12	0,00	1,00	1,92	0,00	0,00	1,92	3,68	0,105406	1,23882E-14	202,2315	13,71799	1,5884E-15
10	7,57	13,73	0,53	0,84	0,00	0,04	0,13	1,00	0,00	0,45	0,45	0,20	0,00	0,00	0,110144	49,03599993	0	0	6,112596
11	10,37	13,73	0,53	1,75	0,00	0,04	0,17	1,00	0,00	0,93	0,93	0,86	0,00	0,00	0,120134	111,424326	0	0	12,734575
12	13,59	13,73	0,53	1,90	0,00	0,04	0,19	1,00	0,00	1,01	1,01	1,01	0,00	0,00	0,126222	127,1055383	0	0	13,82611
13	16,56	13,73	0,53	1,83	0,00	0,04	0,16	1,00	0,00	0,97	0,97	0,94	0,00	0,00	0,117984	114,4325898	0	0	13,316727
14	20,09	13,73	0,53	1,84	0,00	0,04	0,16	1,00	0,00	0,98	0,98	0,95	0,00	0,00	0,118591	115,6499397	0	0	13,389496
15	23,34	13,73	0,53	1,87	0,00	0,04	0,20	1,00	0,00	0,99	0,99	0,98	0,00	0,00	0,126604	125,477357	0	0	13,607803
16	26,62	13,73	0,53	1,88	0,00	0,04	0,16	1,00	0,00	1,00	1,00	0,99	0,00	0,00	0,117555	117,1315447	0	0	13,680572
17	29,87	13,73	0,53	1,81	0,00	0,04	0,17	1,00	0,00	0,96	0,96	0,92	0,00	0,00	0,119396	114,5362492	0	0	13,171189
18	32,65	13,73	0,53	0,96	0,00	0,04	0,05	1,00	0,00	0,51	0,51	0,26	0,00	0,00	0,084931	43,2129847	0	0	6,985824
19	33,13	11,84	0,53	3,78	90,00	0,04	0,12	0,00	1,00	2,00	0,00	0,00	2,00	4,01	0,106908	1,31201E-14	214,1789	66,37264	1,453E-15
20	33,91	12,01	0,48	1,02	0,00	0,04	0,05	1,00	0,00	0,49	0,49	0,24	0,00	0,00	0,084497	41,36959208	0	0	5,880096
21	36,61	12,01	0,48	2,38	0,00	0,04	0,05	1,00	0,00	1,14	1,14	1,31	0,00	0,00	0,084228	96,22173137	0	0	13,720224
22	39,57	12,01	0,48	1,54	0,00	0,04	0,05	1,00	0,00	0,74	0,74	0,55	0,00	0,00	0,083885	62,00747718	0	0	8,877792
23	40,34	11,52	0,48	0,98	90,00	0,04	0,15	0,00	1,00	0,47	0,00	0,00	0,47	0,22	0,115998	3,34255E-15	54,56559	18,97594	3,3195E-16
24	40,34	8,89	0,48	2,11	90,00	0,04	0,17	0,00	1,00	1,01	0,00	0,00	1,01	1,03	0,120943	7,50346E-15	122,4907	40,85635	5,5155E-16
25	40,34	5,96	0,48	1,93	90,00	0,04	0,15	0,00	1,00	0,93	0,00	0,00	0,93	0,86	0,116608	6,58743E-15	107,5368	37,37098	3,3822E-16
26	40,34	2,97	0,48	2,05	90,00	0,04	0,17	0,00	1,00	0,98	0,00	0,00	0,98	0,97	0,121349	7,31458E-15	119,4072	39,64956	1,7902E-16
27	40,34	0,57	0,48	0,74	90,00	0,04	0,19	0,00	1,00	0,36	0,00	0,00	0,36	0,13	0,126154	2,74495E-15	44,81004	14,32877	1,2402E-17
28	39,67	-0,04	0,48	1,82	0,00	0,04	0,05	1,00	0,00	0,87	0,87	0,76	0,00	0,00	0,083666	73,09081824	0	0	-0,034944
29	36,72	-0,04	0,48	2,07	0,00	0,04	0,05	1,00	0,00	0,99	0,99	0,99	0,00	0,00	0,084451	83,91044186	0	0	-0,039744
30	33,91	-0,04	0,48	1,56	0,00	0,04	0,10	1,00	0,00	0,75	0,75	0,56	0,00	0,00	0,100368	75,15866518	0	0	-0,029952
31	33,13	2,15	0,53	4,39	90,00	0,04	0,12	0,00	1,00	2,33	0,00	0,00	2,33	5,41	0,107265	1,52882E-14	249,5735	77,08357	3,0643E-16
32	32,50	3,34	0,48	1,26	0,00	0,04	0,09	1,00	0,00	0,60	0,60	0,37	0,00	0,00	0,097489	58,9618707	0	0	2,020032
33	29,52	3,34	0,48	2,67	0,00	0,04	0,09	1,00	0,00	1,28	1,28	1,64	0,00	0,00	0,09812	125,751194	0	0	4,280544
34	25,83	3,34	0,48	2,72	0,00	0,04	0,12	1,00	0,00	1,31	1,31	1,70	0,00	0,00	0,105856	138,2062049	0	0	4,360704
35	22,05	3,34	0,48	2,83	0,00	0,04	0,09	1,00	0,00	1,36	1,36	1,85	0,00	0,00	0,097509	132,456268	0	0	4,537056
36	18,23	3,34	0,48	2,81	0,00	0,04	0,12	1,00	0,00	1,35	1,35	1,82	0,00	0,00	0,105465	142,2515971	0	0	4,504992
37	14,47	3,34	0,48	2,72	0,00	0,04	0,09	1,00	0,00	1,31	1,31	1,70	0,00	0,00	0,097663	127,5088606	0	0	4,360704
38	10,71	3,34	0,48	2,71	0,00	0,04	0,09	1,00	0,00	1,30	1,30	1,69	0,00	0,00	0,098331	127,9089702	0	0	4,344672
39	7,79	3,34	0,48	1,15	0,00	0,04	0,10	1,00	0,00	0,55	0,55	0,30	0,00	0,00	0,101792	56,18929783	0	0	1,84368
40	7,21	1,65	0,61	3,38	90,00	0,04	0,11	0,00	1,00	2,06	0,00	0,00	2,06	4,25	0,10381	1,31113E-14	214,0354	14,86558	2,084E-16
41	6,41	0,00	0,56	1,60	0,00	0,04	0,05	1,00	0,00	0,90	0,90	0,80	0,00	0,00	0,082244	73,69078416	0	0	0
42	3,58	0,00	0,56	2,08	0,00	0,04	0,05	1,00	0,00	1,16	1,16	1,36	0,00	0,00	0,084424	98,33668636	0	0	0
43	0,77	0,00	0,56	1,54	0,00	0,04	0,05	1,00	0,00	0,86	0,86	0,74	0,00	0,00	0,082973	71,55584578	0	0	0
44	3,83	2,39	0,58	4,77	90,00	0,04	0,10	0,00	1,00	2,77	0,00	0,00	2,77	7,65	0,100161	1,69748E-14	277,106	10,59608	4,0504E-16
45	3,84	6,50	0,53	7,68	0,00	0,04	0,08	1,00	0,00	4,07	4,07	16,57	0,00	0,00	0,094137	383,1763775	0	0	26,4576
46	7,15	8,54	0,53	4,10	90,00	0,04	0,13	0,00	1,00	2,17	0,00	0,00	2,17	4,72	0,109872	1,46253E-14	238,7517	15,53695	1,1368E-15
47	10,33	9,98	0,53	6,97	90,00	0,04	0,08	0,00	1,00	3,69	0,00	0,00	3,69	13,65	0,094199	2,13163E-14	347,9795	38,16005	2,2584E-15
48	20,09	9,98	0,53	6,97	90,00	0,04	0,08	0,00	1,00	3,69	0,00	0,00	3,69	13,65	0,094199	2,13163E-14	347,9795	74,21447	2,2584E-15
49	29,96	9,98	0,53	6,97	90,00	0,04	0,11	0,00	1,00	3,69	0,00	0,00	3,69	13,65	0,103288	2,37371E-14	381,5549	110,6752	2,2584E-15
50	33,13	7,17	0,53	3,35	90,00	0,04	0,23	0,00	1,00	1,78	0,00	0,00	1,78	3,15	0,134185	1,45943E-14	238,2462	58,82232	7,7983E-16
51	29,56	6,50	0,53	1,84	0,00	0,04	0,09	1,00	0,00	0,98	0,98	0,95	0,00	0,00	0,09599	93,60969108	0	0	6,3388
52	25,06	6,50	0,53	4,81	0,00	0,04	0,15	1,00	0,00	2,55	2,55	6,50	0,00	0,00	0,114024	290,6808024	0	0	16,57045
53	20,07	6,50	0,53	2,62	0,00	0,04	0,17	1,00	0,00	1,39	1,39	1,93	0,00	0,00	0,119255	165,5976804	0	0	9,0259
54	15,24	6,50	0,53	4,68	0,00	0,04	0,15	1,00	0,00	2,48	2,48	6,15	0,00	0,00	0,114236	283,3501646	0	0	16,1226
55	10,74	6,50	0,53	1,87	0,00	0,04	0,20	1,00	0,00	0,99	0,99	0,98	0,00	0,00	0,128544	127,399714	0	0	6,44215

verifica sicurezza | risultati



Nel grafico sono rappresentati i vari spettri che delineano le condizioni di danno/collasso/nuova costruzione. La struttura si muove nel range tra il danno reale ed il collasso reale.



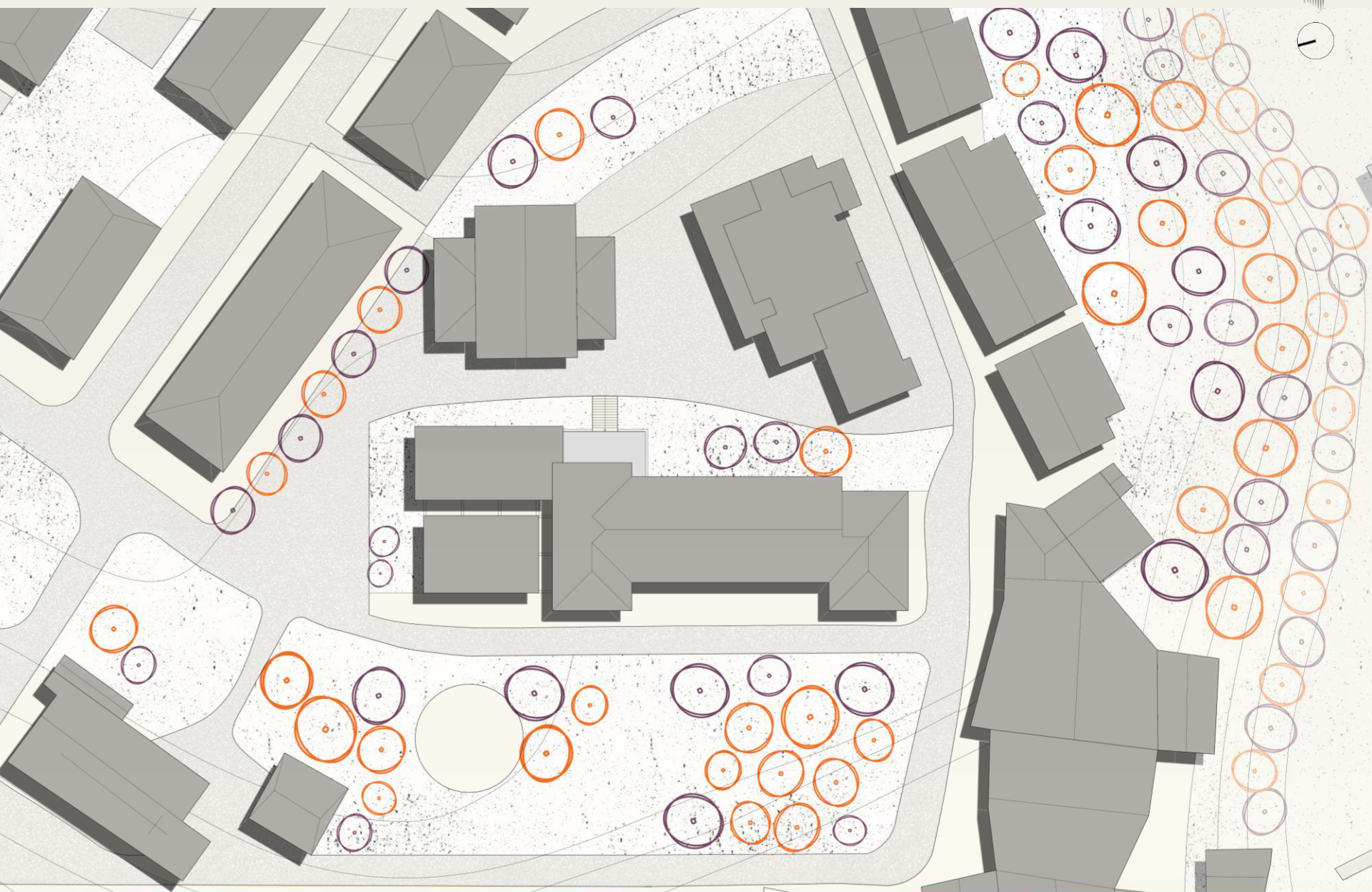
$X < 2.100.000,00$ euro

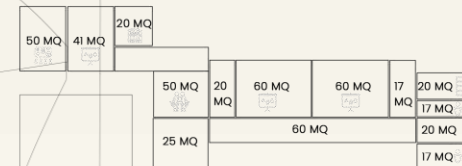
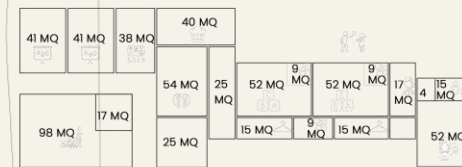
Contributi assegnati al Comune di Acquasanta Terme

Dai risultato della valutazione sismica, si decide di intervenire mediante interventi di **miglioramento sismico** e di **adeguamento funzionale**.

Dal sopralluogo effettuato dal team ReLuis il plesso scolastico è stato così classificato :
Stato di Danno 2 (danni significativi) **Media** Vulnerabilità

adeguamento funzionale | masterplan

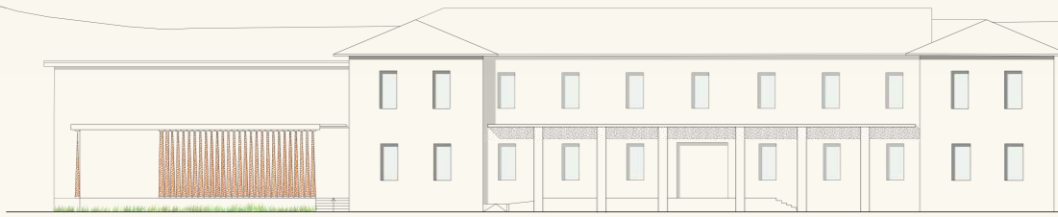


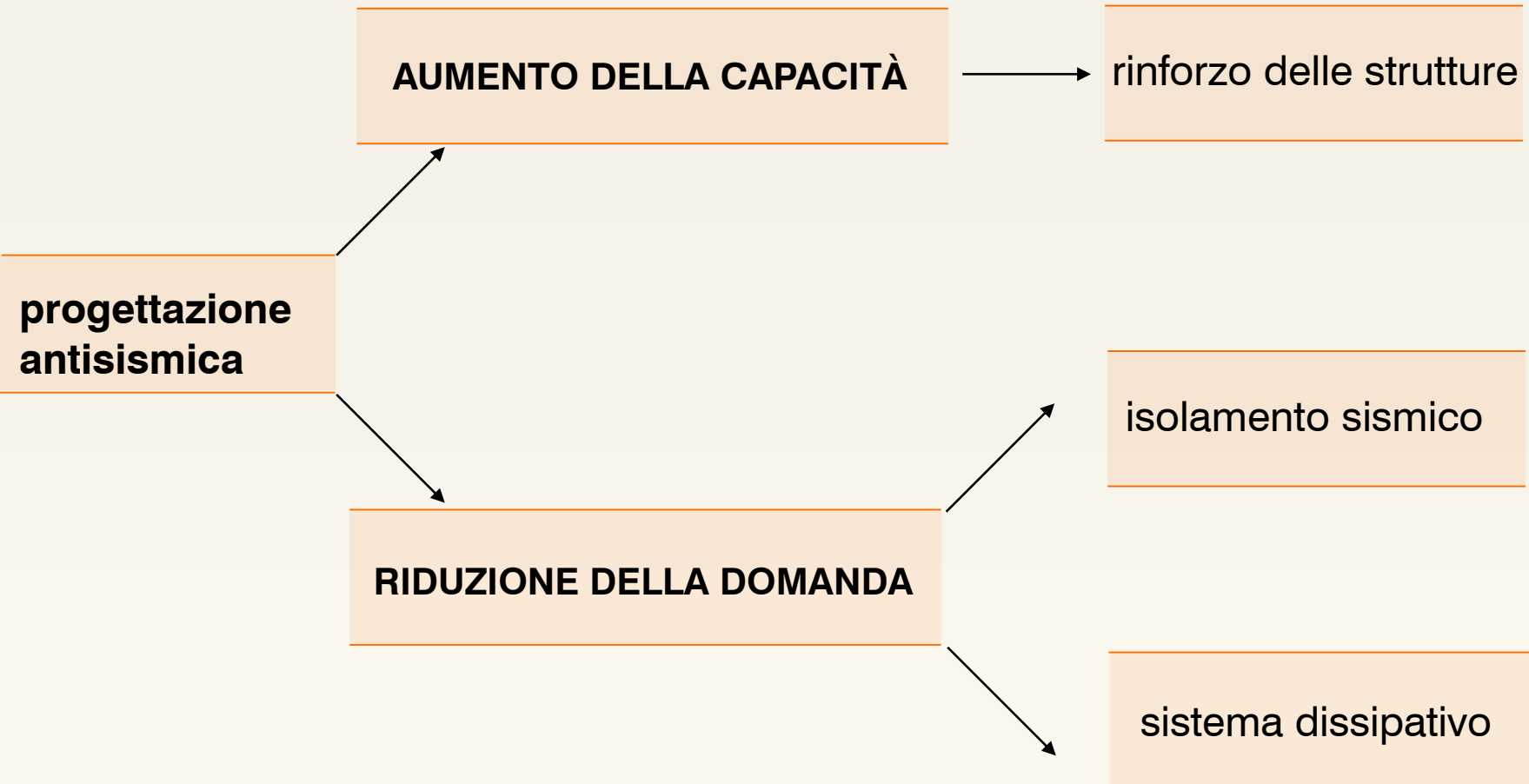


attività ordinate | speciali
attività ordinate | a tavolino
attività pratiche | spogliatoio
attività pratiche | ser. igienici
attività libere
lavanderia
stanza assistente
servizi igienici

- attività didattica | normale
- attività didattica | interclero
- cucina
- attività collettive | mensa
- attività collettive | parascolasche
- attività complementari | bibl.
- ripostiglio
- accoglienza

ANALISI FUNZIONI | MQ





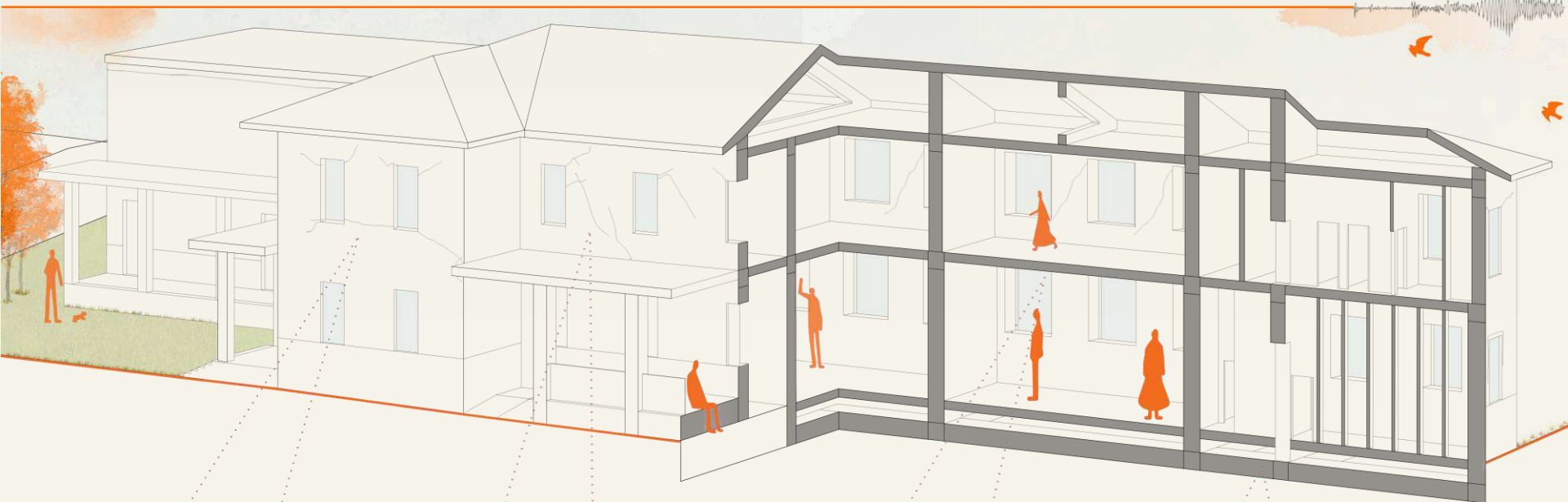
La progettazione antisismica delle strutture è basata sul soddisfacimento della disequazione:

$$CAPACITÀ \geq DOMANDA$$

La DOMANDA corrisponde alle prestazioni strutturali (rigidezza, duttilità o resistenza)

La CAPACITA' è determinata dalle caratteristiche di resistenza e di deformabilità della struttura stessa.

interventi



LESIONE NON PASSANTE | SARCITURA
consiste nell'effettuare delle iniezioni nella lesione con successiva applicazione di rete bidirezionale in fibra di vetro.



1. Rimozione intonaco e messa a nudo superficie muraria (fascia di circa 50cm). Scarnitura ed apertura della lesione e pulizia della superficie.
2. Perfori ogni 30 cm lungo la lesione, di diametro di 10 mm perpendicolarmente alla superficie e lunghi 15 cm. Pulizia dei fori con aria compressa.
3. Iniezione resina epossidica.
4. Lavaggio superficie muraria per eliminare polveri e detriti.
5. Applicazione strato uniforme di malta pronta all'uso a base di calce idraulica naturale fibrorinforzata.
6. Posizionamento rete di armatura bidirezionale in fibra di vetro.
7. Secondo strato di malta pronta all'uso a base di calce idraulica naturale fibrorinforzata.
8. Rasatura di finitura con malta fine.

LESIONE PASSANTE | SCUCI CUCI
ripristino della continuità muraria, realizzazione di una nuova tessitura muraria con nuovi elementi.



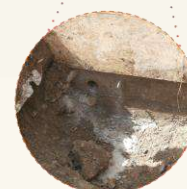
Si può applicare sia a murature di pietrame sia di mattoni pieni. L'apparechiatura muraria, previo puntellamento dei solai è disassemblata localmente in corrispondenza della lesione. Dopo avere completato lo scuci, soffiato e bagnato le superfici interessate, si procede con il cucì di mattoni pieni, usando malte compatibili alle murature ed ad ammassare bene la nuova muratura con quella esistente.

SOLAI | INTERVENTI ANTIFONDELLAMENTO
applicazione di rete GFRP (Glass Fiber Reinforced Polymer) e connettori metallici



Applicazione di reti in G.F.R.P. (Glass Fiber Reinforced Polymer) di Fibre Net fissate sui travetti all'intradosso del solaio attraverso sistemi di connessione strutturale specificatamente dimensionati; si ottiene in questo modo un efficace contenimento delle porzioni di intonaco e delle pignatte che si distaccano. Una volta realizzata la messa in sicurezza del solaio, il sistema può essere lasciato a vista, così da consentire un risparmio economico.

RINFORZO FONDAZIONI | ISOLATORI A SCORRIMENTO

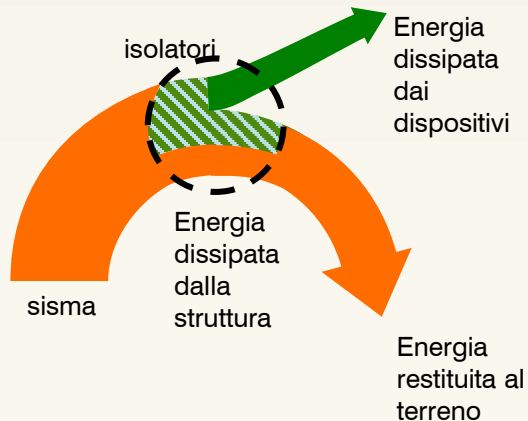



Le fondazioni attuali del plesso scolastico sono in cemento scarsamente armato, quindi, con uno scavo di sottofondazione eseguito a mano, se ne realizzano di nuove. Subito sotto vengono posizionati gli isolatori con la loro fondazione e un cordolo di collegamento.

le ragioni dell'isolamento sismico



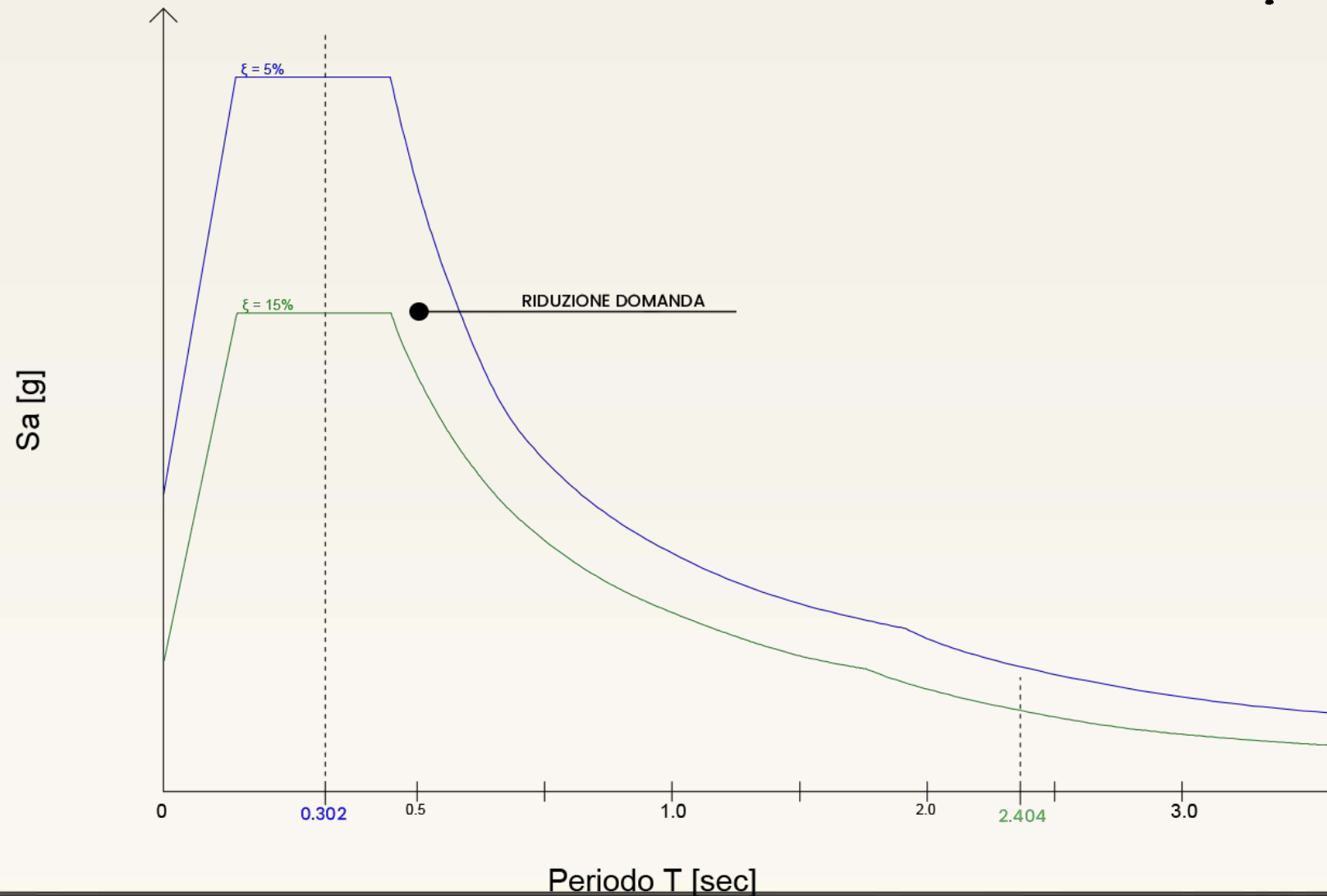
- ✓ **DIMINUIZIONE** delle sollecitazioni indotte dal sisma sulle parti strutturali del fabbricato
- DIMINUIZIONE** degli spostamenti di interpiano, annullamento pressoché totale danni agli elementi non strutturali e piena funzionalità degli edifici.
- DIMINUIZIONE** della percezione del sisma.
- VANTAGGIO ECONOMICO**
 - mantenimento della funzionalità
 - abbattimento dei costi di eventuale ripristino a seguito di sismi di elevata magnitudo



-  **VERIFICA** della separazione al contorno tra struttura fissa e isolata
- CONSENTIRE** l'accessibilità ai dispositivi di isolamento (Ispezione, manutenzione, ev. Sostituzione)

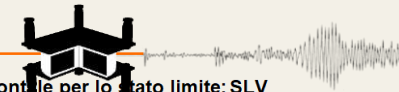
L'isolamento sismico alla base consiste nell'inserire elementi deformabili in cui concentrare il danno, che permettono di disaccoppiare il moto terreno e della struttura. L'edificio presenta delle fondazioni non armate, quindi ne vengono realizzate delle nuove sotto alle quali si posizionano gli isolatori.

struttura isolata | cosa cambia?



Le accelerazioni spettrali S_a possono essere drasticamente ridotte se si riesce ad aumentare notevolmente il periodo T della struttura. Inserendo gli isolatori sismici si aumenta il periodo di smorzamento e di conseguenza il periodo della struttura.

progettazione struttura isolata | Se, T



Parametri e punti dello spettro di risposta orizzontale per lo stato limite: SLV

Parametri indipendenti

STATO LIMITE	SLV
a_g	0,252 g
F_a	2,461
T_C	0,348 s
S_S	1,152
C_C	1,358
S_T	1,000
q	1,414

Parametri dipendenti

S	1,152
η	0,707
T_B	0,158 s
T_C	0,473 s
T_D	2,608 s

Espressioni dei parametri dipendenti

$$S = S_S \cdot S_T \quad (\text{NTC-08 Eq. 3.2.5})$$

$$\eta = \sqrt{10 / (5 + \xi)} \geq 0,55; \quad \eta = 1/q \quad (\text{NTC-08 Eq. 3.2.6, § 3.2.3.5})$$

$$T_B = T_C / 3 \quad (\text{NTC-07 Eq. 3.2.8})$$

$$T_C = C_C \cdot T_C^* \quad (\text{NTC-07 Eq. 3.2.7})$$

$$T_D = 4,0 \cdot a_g / g + 1,6 \quad (\text{NTC-07 Eq. 3.2.9})$$

Espressioni dello spettro di risposta (NTC-08 Eq. 3.2.4)

$$0 \leq T < T_B \quad S_e(T) = a_g \cdot S \cdot \eta \cdot F_0 \cdot \left[\frac{T}{T_B} + \frac{1}{\eta \cdot F_0} \left(1 - \frac{T}{T_B} \right) \right]$$

$$T_B \leq T < T_C \quad S_e(T) = a_g \cdot S \cdot \eta \cdot F_0$$

$$T_C \leq T < T_D \quad S_e(T) = a_g \cdot S \cdot \eta \cdot F_0 \cdot \left(\frac{T_C}{T} \right)$$

$$T_D \leq T \quad S_e(T) = a_g \cdot S \cdot \eta \cdot F_0 \cdot \left(\frac{T_C \cdot T_D}{T^2} \right)$$

Lo spettro di progetto $S_d(T)$ per le verifiche agli Stati Limite Ultimi è ottenuto dalle espressioni dello spettro elastico $S_e(T)$ sostituendo η con $1/q$, dove q è il fattore di struttura. (NTC-08 § 3.2.3.5)

Punti dello spettro di risposta

	T [s]	Se [g]
	0,000	0,290
T _B ←	0,158	0,505
T _C ←	0,473	0,505
	0,575	0,416
	0,676	0,353
	0,778	0,307
	0,880	0,272
	0,981	0,243
	1,083	0,221
	1,185	0,202
	1,286	0,186
	1,388	0,172
	1,490	0,160
	1,591	0,150
	1,693	0,141
	1,794	0,133
	1,896	0,126
	1,998	0,120
	2,099	0,114
	2,201	0,109
	2,303	0,104
	2,404	0,099
	2,506	0,095
T _D ←	2,608	0,092
	2,674	0,087
	2,740	0,083
	2,807	0,079
	2,873	0,075
	2,939	0,072
	3,006	0,069
	3,072	0,066
	3,138	0,063
	3,204	0,061
	3,271	0,058
	3,337	0,056
	3,403	0,054
	3,470	0,052
	3,536	0,050
	3,602	0,050
	3,669	0,050
	3,735	0,050
	3,801	0,050
	3,867	0,050
	3,934	0,050
	4,000	0,050

La verifica dell'idoneità del programma, l'utilizzo dei risultati da esso ottenuti sono onere e responsabilità esclusiva dell'utente. Il Consiglio Superiore dei Lavori Pubblici non potrà essere ritenuto responsabile dei danni risultanti dall'utilizzo dell

$$a_{SLU} = \frac{q F_{SLU}}{e * M C(T)}$$

$$Se_{IS} [m/s^2] = 0.866$$

$$Se_{IS,MIN} [g] = 0.09$$

$$Domanda_{MAX} = \frac{Se_{IS,MIN} [g]}{0.8} = 0.11$$

Si calcola la pseudo-accelerazione Se_{IS} del nuovo sistema isolato alla base considerando la disequazione **CAPACITÀ \geq DOMANDA** Con la capacità minima del sistema, possiamo calcolare la domanda massima da normativa in caso di adeguamento. Dallo spettro si ricava il periodo corrispondente alla pseudo-accelerazione.

progettazione struttura isolata | K



$$K_{esi} = \left(\frac{2\pi}{T_{is}} \right)^2 \cdot M$$

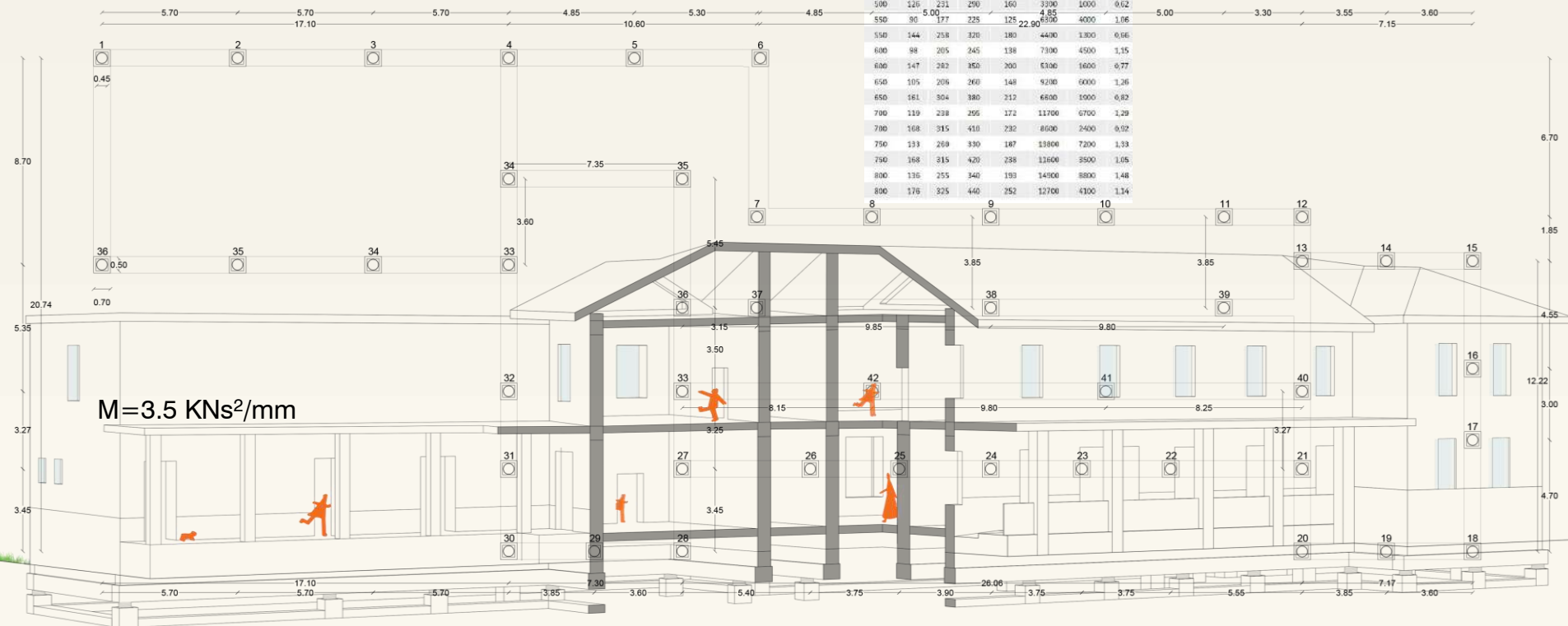
46 dispositivi
 $K_{E,i} = 0.519 \text{ KN/mm}$

$$K_R > K_{E,i}$$

$$K_{ESI} = 23.88 \text{ KN/mm}$$

HDRB - S							
ϕ	T_i	H	Δ_{max}	d/bd	V_{max}	V_{max}	K_i
mm	mm	mm	mm	mm	kN	kN	kN/mm
300	45	114	110	65	1100	800	0.63
300	70	154	170	97	900	900	0.40
350	55	139	135	82	2200	1800	0.70
350	75	162	185	107	1600	600	0.51
400	60	138	150	85	2900	2000	0.84
400	90	188	225	125	2200	700	0.56
450	72	150	180	103	3700	2200	0.88
450	108	204	200	148	2000	800	0.55
500	84	168	210	123	5100	2900	0.93
500	126	231	250	160	3300	1000	0.62
550	90	177	225	125	4850	4000	1.06
550	144	258	320	180	4400	1300	0.66
600	98	205	245	138	7300	4500	1.15
600	147	282	350	200	6100	1600	0.77
650	105	206	260	148	9200	6000	1.26
650	161	304	380	212	6600	1900	0.82
700	119	238	295	172	11700	6700	1.29
700	168	315	418	232	8500	2400	0.92
750	133	269	330	187	13800	7200	1.33
750	168	315	420	238	11600	3500	1.05
800	136	255	340	193	14900	8800	1.48
800	178	325	440	252	12700	4100	1.14

$$K_R = 0.59 \text{ KN/mm}$$



Fissato il periodo di vibrazione della struttura isolata, si determina la rigidezza equivalente del sistema isolato K_{ESI} , nell'ipotesi che la sovrastruttura sia un solaio rigido che trasla al disopra di un sistema di isolamento. $M = M_{TOT} + M_{ISO}$ Si ipotizzano 46 dispositivi di isolamento che vengono distribuiti a seconda della massa dei corpi.

verifica spostamento SLC



$$\sum_i K_{e,i} = K_{esi}$$

$K_{ESI,min} = 27.14 \text{ KN/mm}$

$T_{IS, reale} = 2\pi\sqrt{(M/K)} = 2.25 \text{ s} \quad (7.9.4 \text{ NTC 2018})$

$S_e = 0.136 \text{ g}$

$$d_{dc} = \frac{S_e(T_{is}; \xi_{esi})}{\omega^2} = 0.165 \text{ m} \quad (7.10.2. \text{ NTC 2018})$$

$d_{de} = 0.165 \text{ m} \cdot 1.20 = 0.20 \text{ m}$

$\Delta_{MAX} > \Delta_{DE} = 0.26 \text{ m} > 0.20 \text{ m} \rightarrow \text{VERIFICATO}$

$\gamma = \frac{\Delta_{DE}}{Tr} = \frac{200}{108} = 1.85 \quad \gamma < 2.5 \quad \rightarrow \text{VERIFICATO}$

Parametri e punti dello spettro di risposta orizzontale per lo stato limite: SLC

Parametri indipendenti	
STATO LIMITE	SLC
a_g	0,321 g
F_a	2,487
T_c	0,363 s
S_s	1,081
C_c	1,347
S_T	1,000
q	1,414

Parametri dipendenti	
S	1,081
η	0,707
T_B	0,163 s
T_C	0,489 s
T_D	2,884 s

Espressioni dei parametri dipendenti

$S = S_g \cdot S_T$	(NTC-08 Eq. 3.2.5)
$\eta = \sqrt{10 / (5 + \xi)} \geq 0,55; \eta = 1 / q$	(NTC-08 Eq. 3.2.6; §. 3.2.3.5)
$T_B = T_C / 3$	(NTC-07 Eq. 3.2.8)
$T_C = C_c \cdot T_c^*$	(NTC-07 Eq. 3.2.7)
$T_D = 4,0 \cdot a_g / g + 1,6$	(NTC-07 Eq. 3.2.9)

Espressioni dello spettro di risposta (NTC-08 Eq. 3.2.4)

$0 \leq T < T_B$	$S_s(T) = a_g \cdot S \cdot \eta \cdot F_0 \cdot \left[\frac{T}{T_B} + \frac{1}{\eta \cdot F_0} \left(1 - \frac{T}{T_B} \right) \right]$
$T_B \leq T < T_C$	$S_s(T) = a_g \cdot S \cdot \eta \cdot F_0$
$T_C \leq T < T_D$	$S_s(T) = a_g \cdot S \cdot \eta \cdot F_0 \cdot \left(\frac{T_C}{T} \right)$
$T_D \leq T$	$S_s(T) = a_g \cdot S \cdot \eta \cdot F_0 \cdot \left(\frac{T_C \cdot T_D}{T^2} \right)$

Lo spettro di progetto $S_d(T)$ per le verifiche agli Stati Limite Ultimi è ottenuto dalle espressioni dello spettro elastico $S_e(T)$ sostituendo η con $1/q$, dove q è il fattore di struttura. (NTC-08 § 3.2.3.5)

Punti dello spettro di risposta	
T [s]	Se [g]
0,000	0,347
0,163	0,610
0,489	0,610
0,603	0,495
0,717	0,416
0,831	0,359
0,945	0,316
1,059	0,282
1,174	0,254
1,288	0,232
1,402	0,213
1,516	0,197
1,630	0,183
1,744	0,171
1,858	0,161
1,972	0,151
2,086	0,143
2,200	0,136
2,314	0,129
2,428	0,123
2,542	0,117
2,656	0,112
2,770	0,108
2,884	0,103
2,937	0,100
2,990	0,096
3,043	0,093
3,097	0,090
3,150	0,087
3,203	0,084
3,256	0,081
3,309	0,079
3,362	0,076
3,415	0,074
3,469	0,072
3,522	0,069
3,575	0,067
3,628	0,065
3,681	0,064
3,734	0,064
3,787	0,064
3,841	0,064
3,894	0,064
3,947	0,064
4,000	0,064

La verifica dell' idoneità del programma, l'utilizzo dei risultati da esso ottenuti sono onere e responsabilità esclusiva dell'utente. Il Consiglio Superiore dei Lavori Pubblici non potrà essere ritenuto responsabile dei danni risultanti dall'utilizzo dell

È necessario verificare la realizzabilità dell'ipotesi progettuale di un sistema composto da isolatori elastometrici, mediante il calcolo dello spostamento allo SLC

costo interventi strutturali



COSTI PARAMETRICI NUOVA COSTRUZIONE:

1300 €/m² * 128 m² = 166.400,00 €

COSTI PARAMETRICI RIPRISTINO ESISTENTE:

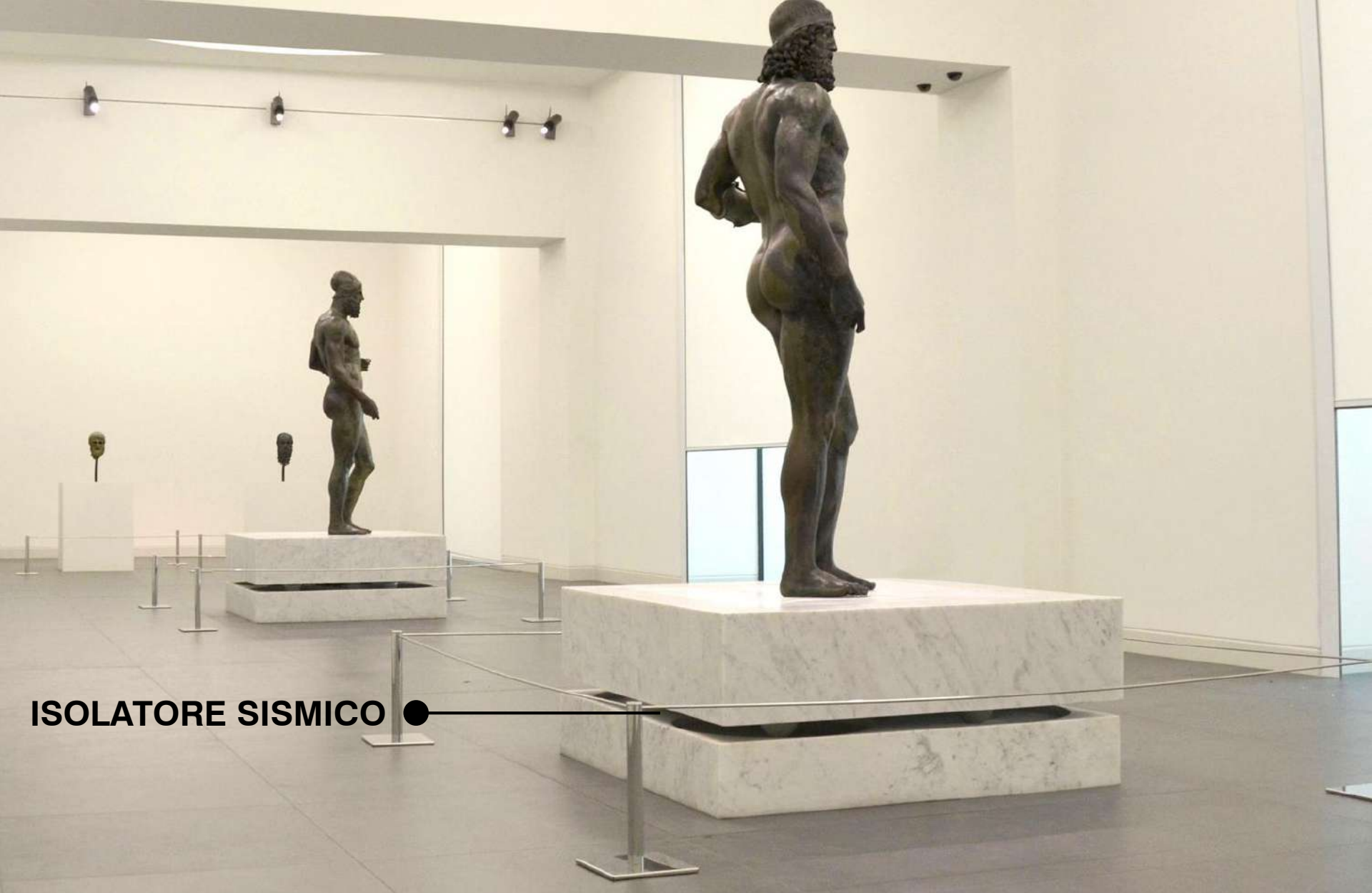
400 €/m² * 1290 m² = 516.000,00 €

LAVORI STRUTTURALI + LESIONI

	quantità		prezzo €	totale €
-Allestimento cantiere	0,01		595.000,00	5.950,00
-Costi della sicurezza	0,05		595.000,00	29.750,00
-Redazione PiMUS	1,00		2.000,00	2.000,00
-Redazione P.O.S. Piano Operativo per la Sicurezza	0,01		595.000,00	5.950,00
-Allestimento di ponteggi in tubi e giunti prefabbricati				
per altezze fino a 20,00 m dal piano di campagna	2073,60	m²	24,78	51.383,81
noleggio di teli o reti in nylon pesante	2073,60	m²	4,91	10.181,38
per schermatura di ponteggi				
-Scavo per lavori di sottofondazione	275,23	m³	262,00	72.111,57
eseguito completamente a mano				
-Trasporto a discarica o a sito autorizzato	276,00	m³	2,31	637,56
-Casseforme				
per muri di sostegno e fondazioni	507,43	m²	25,99	13.188,11
-Rck 30 Mpa	163,639	m³	139,33	22.799,82
-Barre di acciaio	16.364,00	Kg	1,78	29.127,92
-Isolatori elastometrici	46		7.342,15	337.738,60
-Puntellatura di solai				
per un'altezza dai 3m ai 5m dal piano di calpestio	100,00	m²	42,95	4.295,00
-Sarcitura di lesioni:				
su muratura in pietrame e mattoni	104,40	m	30,00	3.132,00
-Muratura eseguita a scuci-cuci :				
in pietra squadrata a corsi quasi regolari	9,68	m³	1.014,75	9.820,75
				<u>598.066,82 €</u>

————● 1.280.500,00 €

Il computo è stato realizzato mediante il SW Regolo ed il Prezziario della Regione Marche 2018. Per avere una indicazione del costo complessivo dell'intervento sono stati inseriti i costi parametrici per la nuova costruzione e per le finiture e gli impianti dell'edificio esistente.



ISOLATORE SISMICO ●

«L'architettura è l'adattarsi delle forme a forze contrarie»

Le pietre di Venezia | J.RUSKIN